

# RECEPTEUR NAVTEX FURUNO NX300



## DOSSIER TECHNIQUE

A) LE SYSTEME NAVTEX.....	p2
1) INTRODUCTION.....	p2
2) PRINCIPE DE FONCTIONNEMENT....	p2
3) DIAGRAMME SAGITTAL.....	p3
B) LE RECEPTEUR FURUNO NX300.....	p5
1) FICHE DE PRESENTATION ET SPECIFICATIONS.....	p5
2) SCHEMA MODULAIRE DU RECEPTEUR NX300.....	p7
3) PRESENTATION FONCTIONNELLE D°1 PARTIE ANALOGIQUE...p7	
4) SCHEMAS FONCTIONNELS DE D°2 PARTIE ANALOGIQUE.....	p9
C) SCHEMAS STRUCTURELS.....	p11
D) EXTRAITS DE DOCUMENTS OFFICIELS .....	p15
E) DOCUMENTATION COMPOSANTS.....	p19
F) HORAIRES DE DIFFUSION DES ZONES I,II & III.....	p36

# A) LE SYSTEME NAVTEX

## 1) INTRODUCTION

Le système NAVTEX a été développé afin de pouvoir fournir automatiquement, à tous les marins, les renseignements de la sécurité maritime.

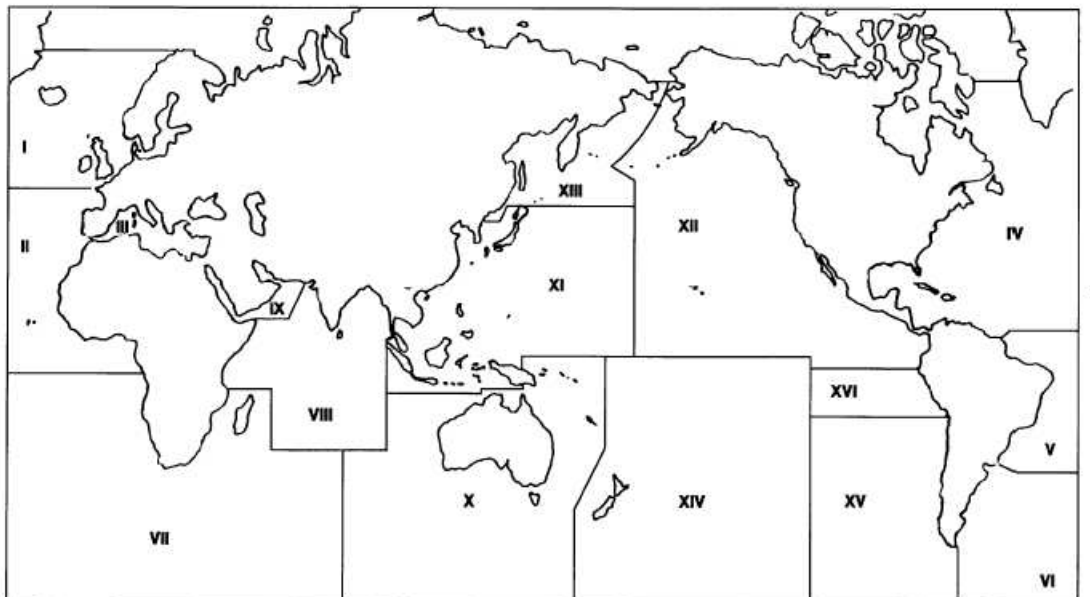
NAVTEX est l'abréviation de « Navigational Télex », c'est un système de transmission radio type télex.

Les récepteurs NAVTEX embarqués, restent toujours en veille. Ils visualisent et enregistrent ou impriment les messages dès leur réception. Il est possible de choisir les messages reçus selon la zone de navigation et selon le type de message (avis d'urgence, avis météorologiques, prévisions météo etc.).

Le système NAVTEX contribue à la sécurité en mer, par la connaissance des prévisions météorologiques, et de tout évènement pouvant présenter un danger pour les usagers de la mer.

## 2) PRINCIPE DE FONCTIONNEMENT

A l'usage de la navigation, le monde a été divisé en 16 zones (appelées Navareas) comme indiqué dans le schéma ci-dessous. Chaque Navarea possède de multiples stations et chaque station NAVTEX a un code d'identification, de A à Z. La fréquence assignée au NAVTEX est unique (518kHz), et plusieurs stations existent dans la même Navarea.

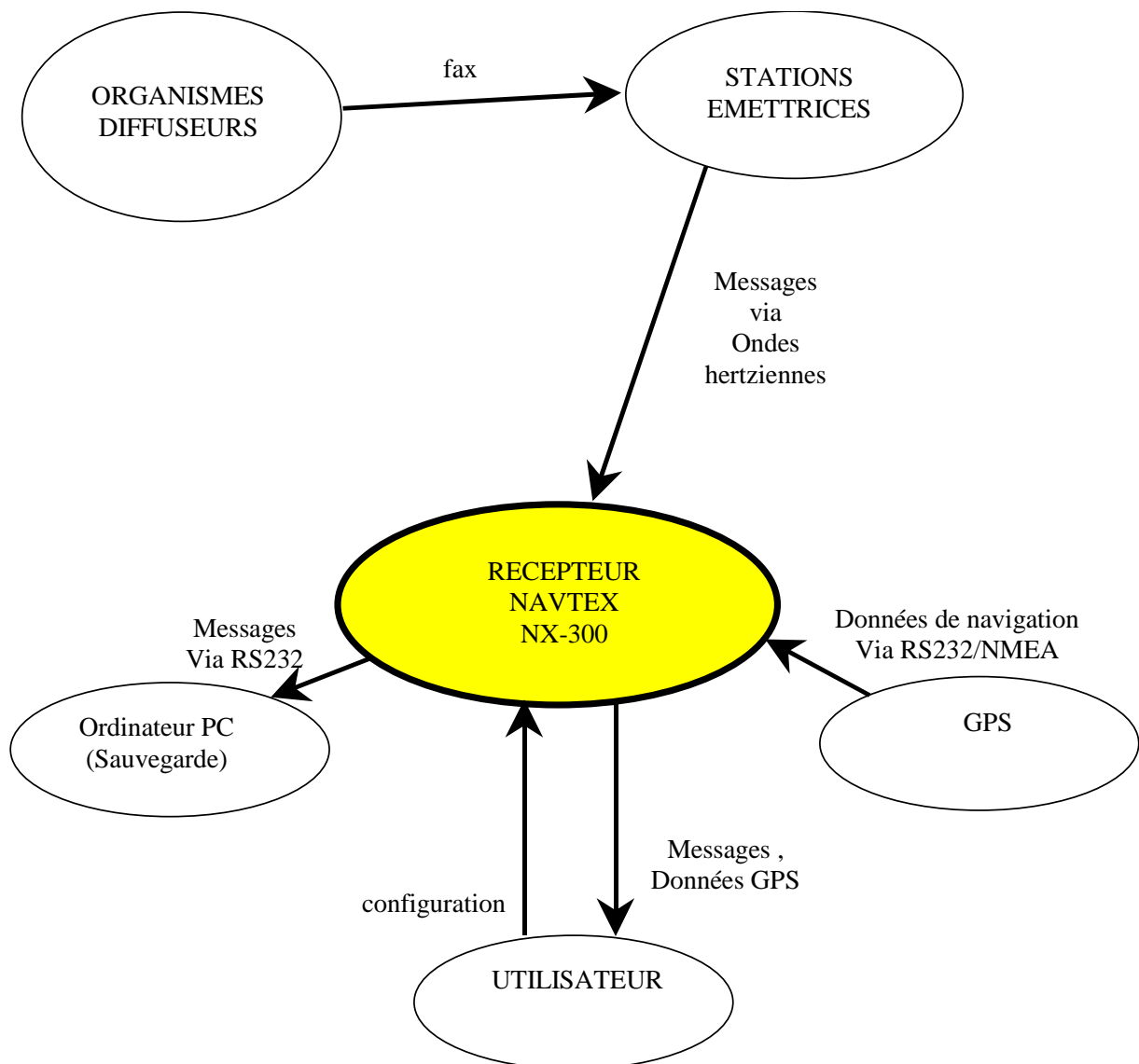


Si les stations transmettaient les messages sans règle, le système serait perturbé à cause des interférences mutuelles. Pour éviter ce problème, les règles suivantes sont appliquées.

- Les stations émettent à tour de rôle, à heure fixe, pendant 10mn toutes les 4 heures. Ainsi, il n'y a pas chevauchement d'émission différentes.
- Chaque station émet avec un minimum de puissance pour couvrir la zone (400 milles nautiques nominal soit environ 740km).

Sur 518kHz tous les messages et bulletins météorologiques sont rédigés en anglais. Certains pays, dont la France, mettent en œuvre un NAVTEX en langue locale. Le fonctionnement est rigoureusement identique excepté la fréquence qui est de 490kHz.

### 3) DIAGRAMME SAGITTAL



- ✓ Les organismes diffuseurs sont le CROSS (Centre Régionaux Opérationnels de Surveillance et de Sauvetage), la marine nationale, météo-France.
- ✓ Les stations sont disposées le long du littoral.  
En France pour couvrir le littoral méditerranéen, il y a un émetteur situé dans le Var sur la commune de la Garde. Ses heures d'émission sont les suivantes :

Emetteur de la Garde			
En heures d'hiver		En heures d'été	
490kHz en français	518kHz en anglais	490kHz en français	518kHz en anglais
4h00		5h00	
8h00	8h40	9h00	9h40
12h00	12h40	13h00	13h40
16h00	16h40	17h00	17h40
20h00	20h40	21h00	21h40
24h00	24h40	1h00	1h40

- ✓ Le récepteur NAVTEX NX-300 permet la réception et la visualisation des messages sur une des fréquence (490kHz ou 518kHz) préalablement sélectionnée. Il dispose d'une mémoire interne pouvant sauvegarder une centaine de message .
- ✓ Un ordinateur PC connecté au NX-300 permettra la sauvegarde des messages sur disque dur et/ou leur impression papier.
- ✓ Un GPS, connecté au NX-300, pourra utiliser l'afficheur comme console de visualisation des données de navigation (latitude, longitude etc..). Dans ce cas, un mode permettra la sélection de la station la plus proche de la position du bateau.

# B) LE RECEPTEUR NX300

## 1) FICHE DE PRESENTATION ET SPECIFICATIONS



The advertisement features the Furuno logo at the top right. Below it, the text "Economical - Paperless" and "NAVTEX RECEIVER" in large bold letters. To the right, the text "Model NX-300" and "(Dual frequency version)" is displayed. A circular inset shows a close-up of the antenna unit. The main product image shows the NX-300 unit with its display screen showing a message list and a keypad with various buttons.

- Reliable, uninterrupted reception of Navtex messages
- Designed for small boats and fishing vessels
- "No consumables or paper required"
- Ultra clear 4.5" backlit monochrome LCD
- Compact, stylish display and antenna unit
- 28,000-character memory capacity for message storage
- Memory backup with a long life lithium battery
- Low power consumption
- NAV Data Display mode \*
- \* NAV sensor required
- Multi-language menu

The NX-300 receives NAVTEX (Navigational Telex) messages and verifies the ID of received messages. It features two narrowband receivers, one tuned to the 518 kHz international Navtex frequency and the other to the 490 kHz domestic or local country frequency. Selection is made by a Frequency Select switch on the front panel.

NAVTEX is a worldwide coastal English language telex broadcast system. The broadcast stations transmit Navigational Warnings, Meteorological Warnings, Search and Rescue (SAR) information and other data for ships sailing within their service range. The service range is 200-400 nautical miles depending on the terrain and station transmit power; messages are broadcasted every 4 hours. The Navtex service on 490 kHz is available in the UK, France, etc. using their own language. The NX-300 features multi-language processing.

Every incoming message is identified and new messages are read on the high-contrast 4.5" LCD display; no paper is

Nav Data	Message List
<p>2010-07-01 02:25:43</p> <p>34°42'098"E 134°30'745"S</p> <p>AT 5' STEP 10.0...</p>	<p>HES1 HES1 123</p> <p>HES2 HES2 123</p> <p>HES3 HES3 123</p> <p>HES4 HES4 123</p> <p>HES5 HES5 123</p> <p>HES6 HES6 123</p> <p>HES7 HES7 123</p> <p>HES8 HES8 123</p> <p>HES9 HES9 123</p> <p>HES10 HES10 123</p> <p>HES11 HES11 123</p> <p>HES12 HES12 123</p>

required. However, the message can be printed out via a PC interface. The broadcast station can be selected automatically according to own ship position when the NX-300 is connected with a GPS/DGPS navigator outputting position in NMEA 0183 format.

The NX-300 consists of a compact, waterproof display and an antenna unit. The waterproof display unit can be installed in the flybridge or at any convenient place on the vessel.

## SPECIFICATIONS OF NX-300

1. Receiver Frequencies 518 and 490 kHz selectable on front panel key
2. Mode of Reception F1B
3. Sensitivity 2 µV e.m.f. (50 ohm), 4 % error rate
4. Message Category
  - A: Navigational warning, B: Meteorological warning,
  - C: Ice report, D: Search and rescue information/piracy and armed robbery, E: Meteorological forecast, F: Pilot message, G: Decca message, H: Loran-C message, I: Omega message, J: Differential omega message, K: Other electronic navigational aid and system message, L: Navigational warning (additional), M to Y: Reserve - presently not used, Z: QRU (no message on hand)
1. Display 4.5" (95 x 60 mm) Monochrome LCD, 120 x 64 pixels
2. Display Modes Message Selection Mode, NAV Data Mode, Message Display Mode
3. Message Storage 28,000 Characters
4. Languages Menu in English, Spanish, German, French, Italian, Danish, Dutch, Portuguese

### ENVIRONMENT (IEC 60945 test method)

Temperature	
Display unit:	-15°C to +55°C
Antenna unit:	-25°C to +70°C
Waterproofing	
Display unit:	IPX5 (IEC 60529), CFR-46 (USCG)
Antenna unit:	IPX6 (IEC 60529)

### POWER SUPPLY

12 - 24 VDC, 1.7 W max

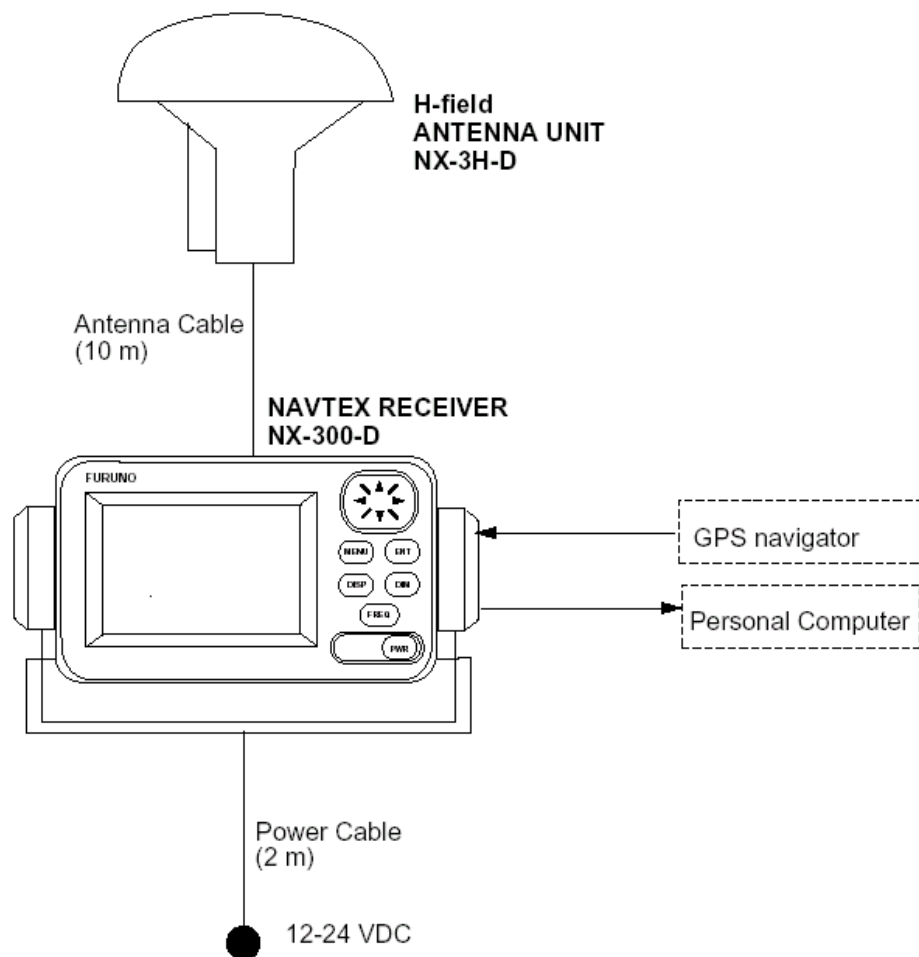
### EQUIPMENT LIST

#### Standard

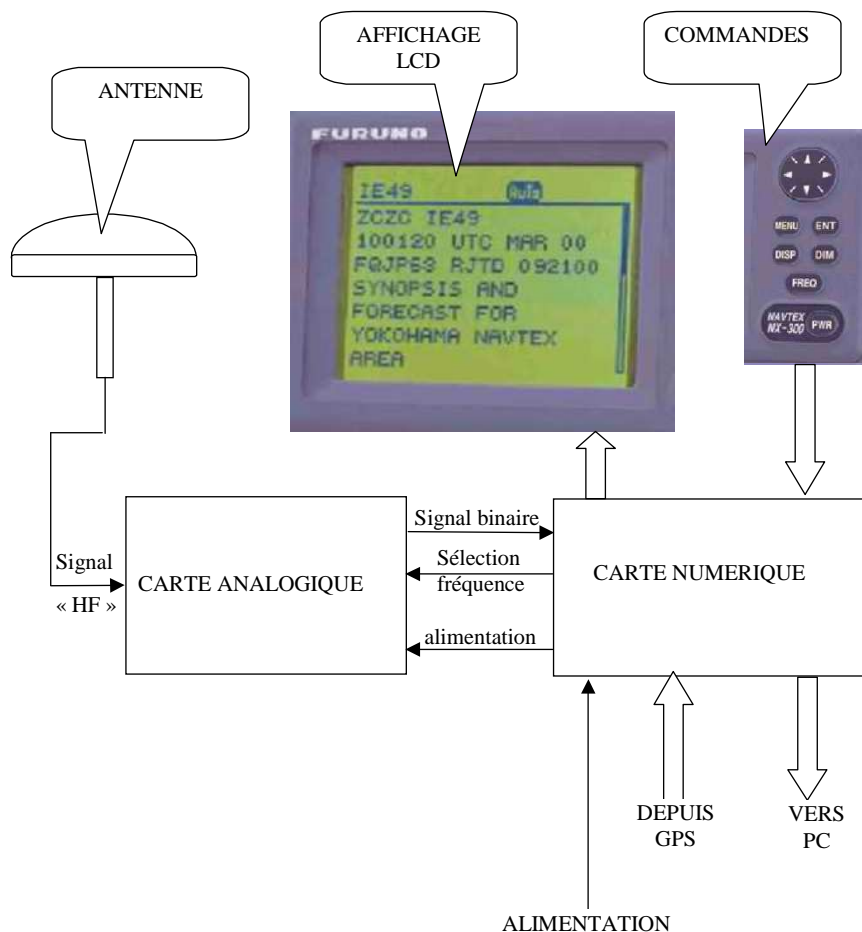
1. Display unit NX-300-D 1 unit
2. Antenna unit NX-3H-D with 10 m cable 1 unit
3. Installation materials and spare parts 1 unit

#### Option

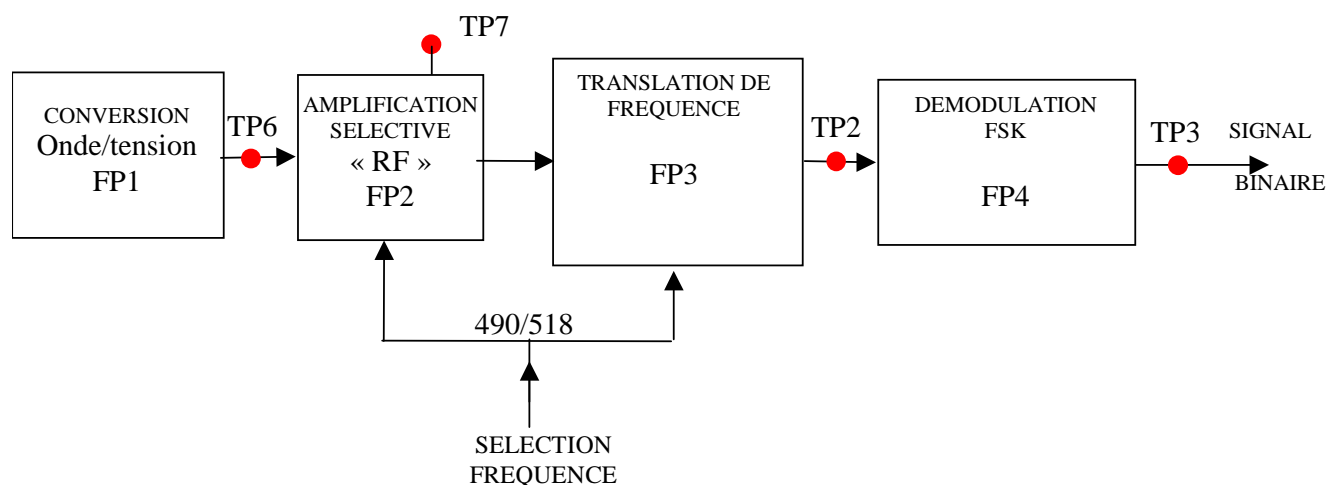
1. Flush mount kit OP20-29 (F type) or OP20-17 (S type)
2. Antenna base NO.13-QA330, NO.13QA310, NO.13-RC5160 or CP-20-01111



## 2) SCHEMA MODULAIRE DU RECEPTEUR NAVTEX NX-300



## 3) PRESENTATION FONCTIONNELLE DE DEGRE 1 DE LA PARTIE ANALOGIQUE



Le message envoyé est codé en binaire et module l'émetteur de puissance en FSK (modulation par décalage de fréquence). Le débit binaire est de 100 bits/seconde. La trame d'émission d'un message est définie précisément dans « les extraits des documents officiels » ci-joint.

### **Rôle de FP1 : CONVERSION ONDE/TENSION (ANTENNE)**

L'antenne FP1 existe sous deux modèles.

- Antenne NX-3E : Ce premier modèle permet la détection de la composante électrique du signal. Elle est constituée d'un brin conducteur associé à un amplificateur sélectif à transistors.
- Antenne NX-3H : Ce deuxième modèle permet la détection de la composante magnétique du signal. Elle est constituée de bobinage(s). Ces bobinages étant accordés à l'aide de condensateurs aux voisinage de 500KHz. Ce modèle est généralement le plus utilisé.

### **Rôle de FP2 :AMPLIFICATION SELECTIVE RF GRAND GAIN**

Il s'agit d'amplifier uniquement les signaux dans une bande de fréquence réduite autour de la fréquence sélectionnée par l'utilisateur.

Le signal logique 490/518 vient sélectionner la fréquence centrale du filtre.

### **Rôle de FP3 :TRANSLATION DE FREQUENCE**

Si la fréquence 518KHz est sélectionnée

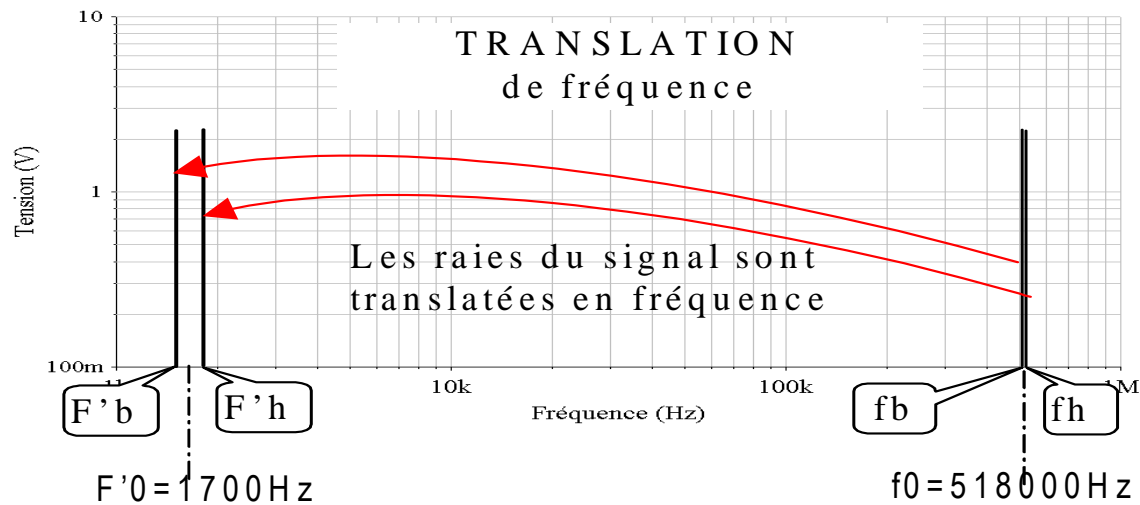
- Pour un niveau logique haut :On retrouve en sortie un signal sinusoïdal à la fréquence :  $f_h = 518000 + 170 = 518170\text{Hz}$
- Pour un niveau logique bas. On retrouve en sortie un signal sinusoïdal à la fréquence :  $f_b = 518000 - 170 = 517830\text{Hz}$

L'écart relatif n'est que de  $\pm 170/518000 \approx \pm 0,03\% !!$

Il est difficile de détecter de si petites variations relatives de fréquences.

Pour augmenter cet écart relatif on a recours à la translation de fréquence. Le principe utilisé consiste à effectuer un changement de fréquence de façon à ramener le signal à une fréquence de l'ordre de quelques kHz. L'écart entre les deux fréquences sera toujours de 170Hz mais autour d'une fréquence beaucoup plus faible. L'écart relatif sera donc beaucoup élevé et facile à détecter.

Dans le cas du NX-300 la translation de fréquence ramène la fréquence du signal à 1,7kHz , l'écart relatif sera de  $\pm 170/1700 = \pm 10\%$ , donc bien plus facile à détecter.

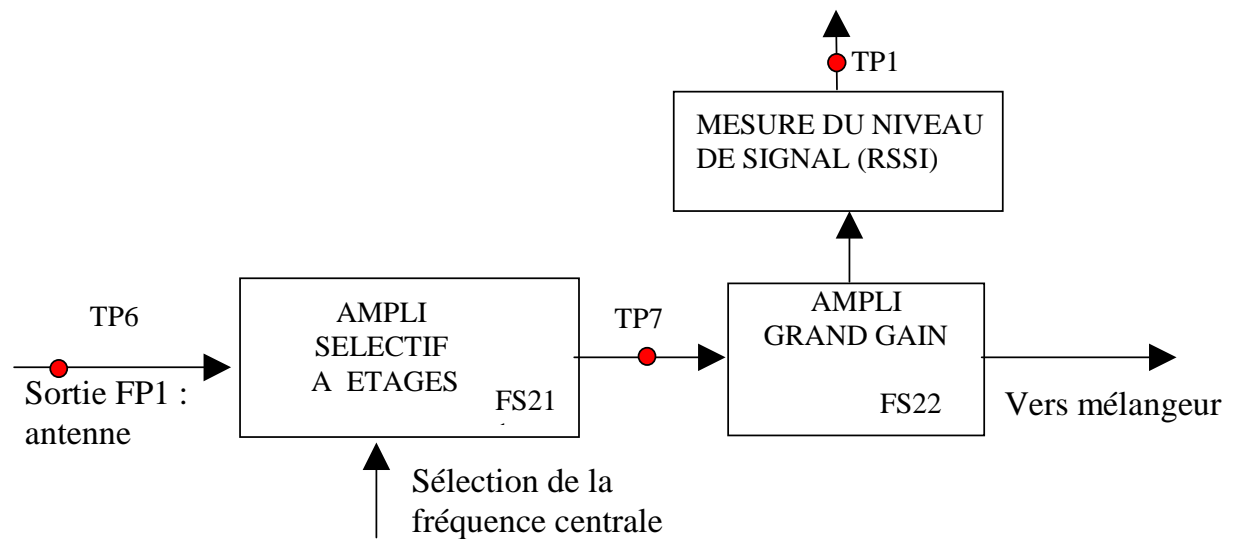


### Rôle de FP4 : DEMODULATION FSK

Cette fonction a pour but de délivrer un niveau logique 1 lorsque le signal présent à son entrée vaut  $F'h=1870\text{Hz}$  et un niveau logique 0 lorsque sa fréquence est de  $F'b=1530\text{Hz}$ .

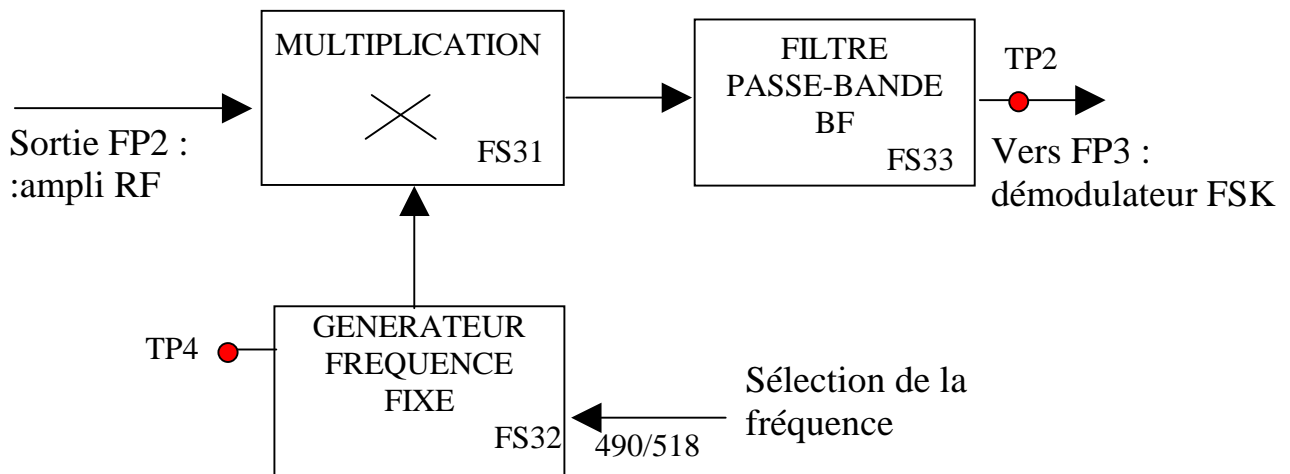
## 4) SCHEMAS FONCTIONNELS DE DEGRE 2 DE LA PARTIE ANALOGIQUE

### FONCTION FP2 : AMPLI SELECTIF GRAND GAIN



(RSSI :Received Signal Strength Indicator)

## FONCTION FP3 : TRANSLATION DE FREQUENCE



Soit  $f$ , la fréquence du signal en sortie de l'ampli-sélectif FP2.

Soit  $f_l$ , la fréquence du « générateur de fréquence fixe » (fréquence locale).

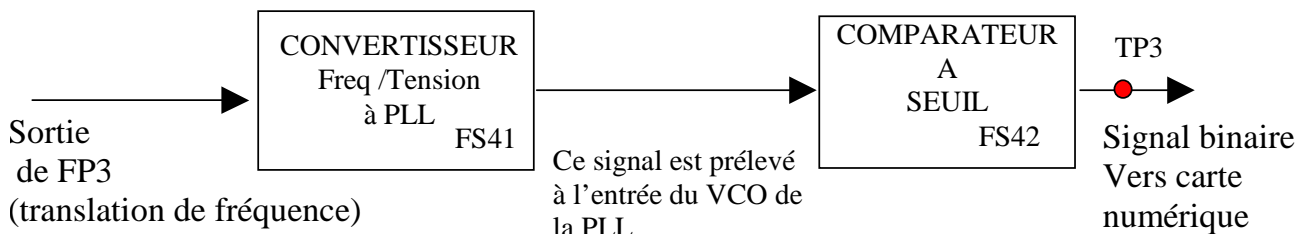
Le multiplicateur délivre deux composantes aux fréquences  $(f-f_l)$  et  $(f+f_l)$ , dont les amplitudes sont proportionnelles à celle du signal.

Le filtre passe-bande BF sert à sélectionner la composante à  $(f-f_l)$ . On a bien réalisé une translation de fréquence de valeur  $f_l$ .

Dans le cas du récepteur NX-300 :

- La fréquence locale peut prendre comme valeur 516300Hz
- Le spectre du signal NAVTEX localisé autour de 518KHz sera donc translaté de 516300Hz, donc autour de  $518000 - 516300 = 1700$ Hz.
- Le passe-bande a donc sa fréquence centrale à 1700Hz.

## FONCTION FP4 : DEMODULATION FSK



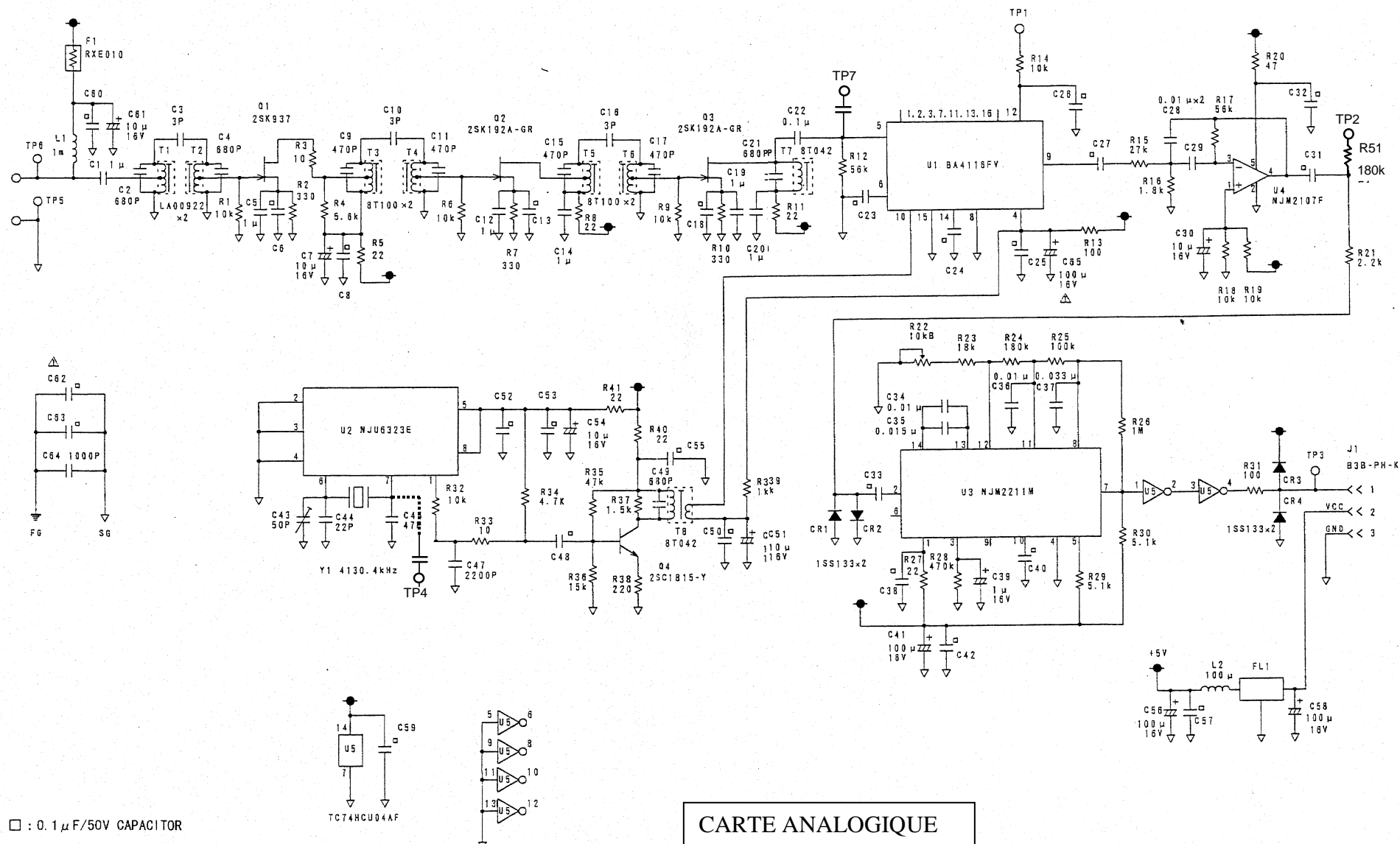
La conversion fréquence/tension est réalisée à l'aide d'une boucle à verrouillage de phase (PLL).

## C) SCHEMAS STRUCTURELS

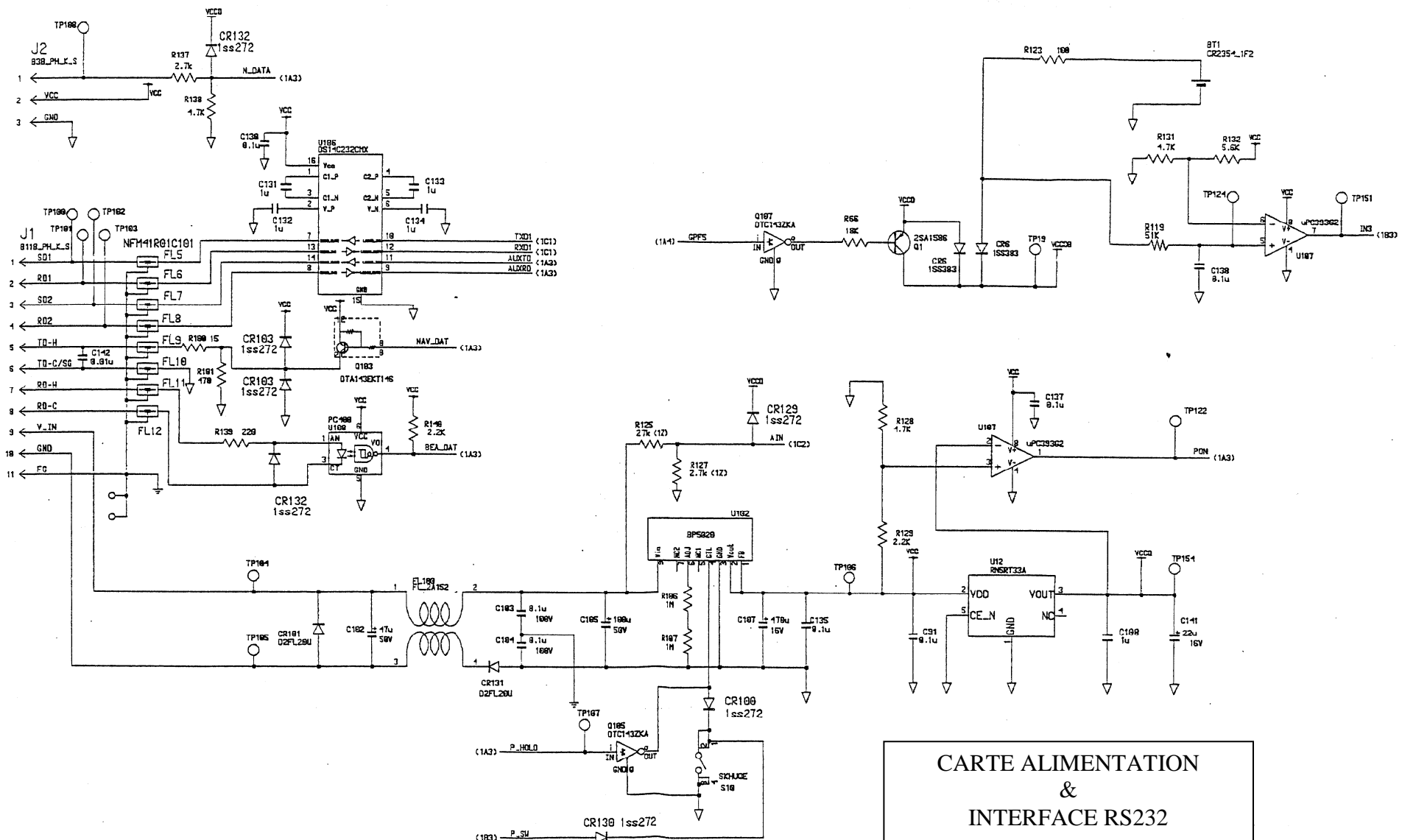
- 1) Carte Analogique
- 2) Alimentation & Interface RS232
- 3) Carte Numérique



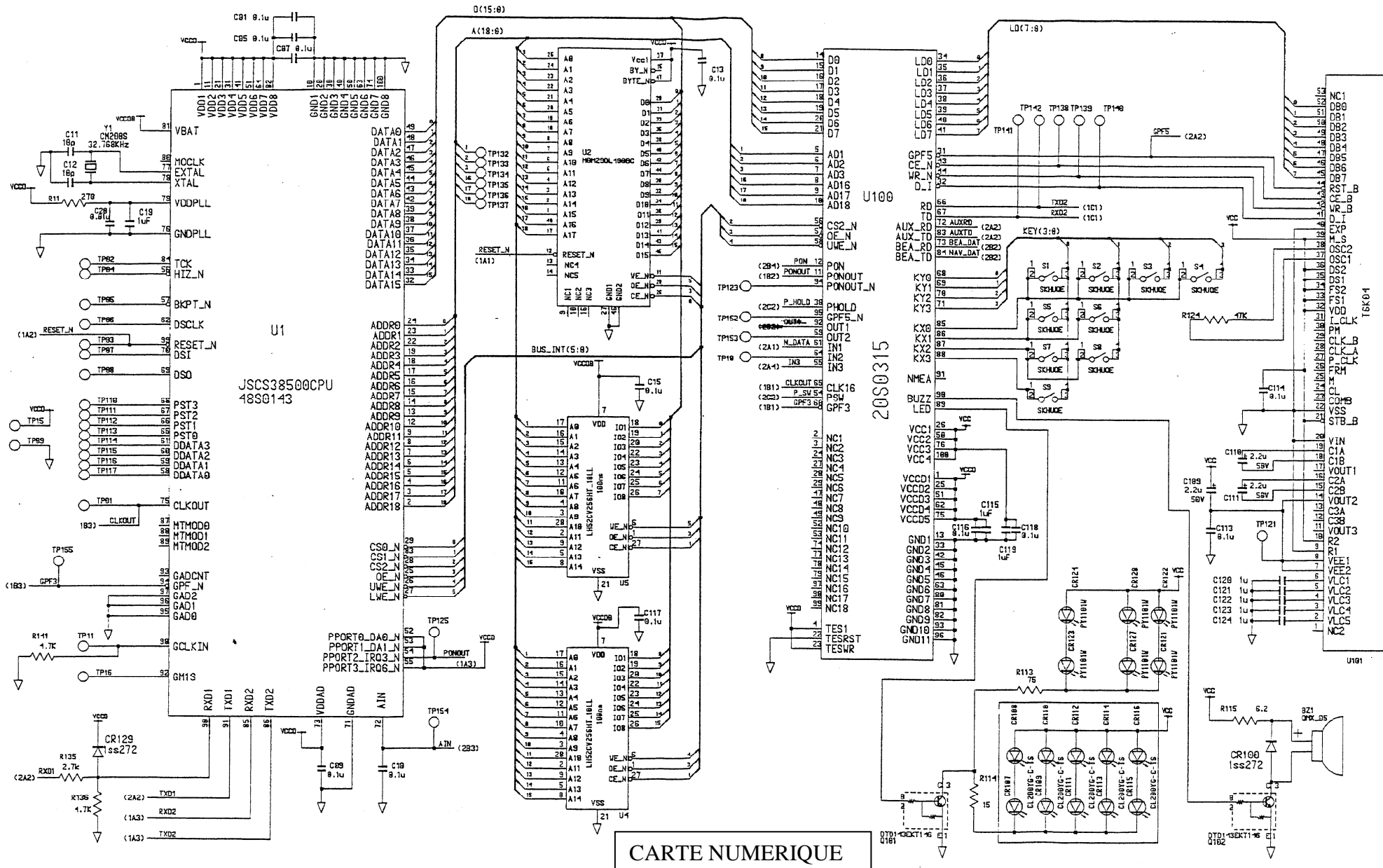
appareil ouvert



## CARTE ANALOGIQUE



CARTE ALIMENTATION  
&  
INTERFACE RS232

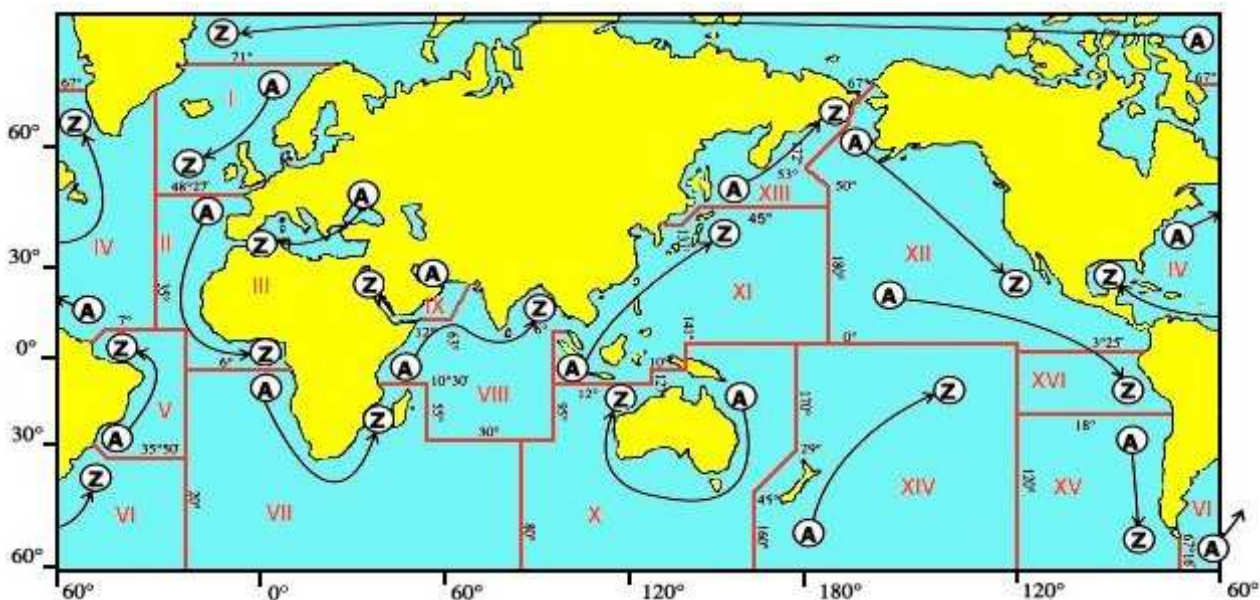


## CARTE NUMERIQUE

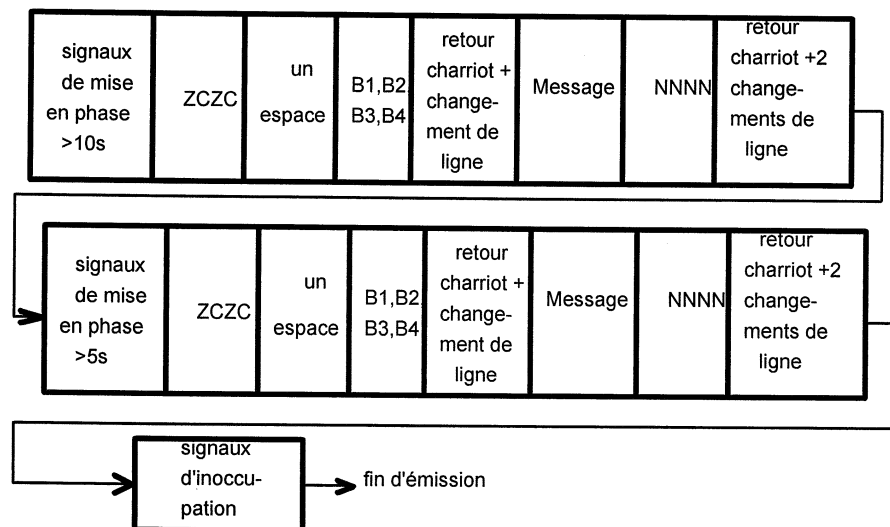
# D)EXTRAITS de DOCUMENTS OFFICIELS

Documents transmis par le Service Technique de La Navigation Maritime et Des Transmissions de l'Equipement

- Format technique d'un message
- Asservissements des stations
- Caractéristiques radioélectriques du NAVTEX



## **FORMAT TECHNIQUE D'UN MESSAGE :**



**signaux de mise en phase** : succession de codes numériques \$78 et \$33 (\$ indique un nombre en hexadécimal). Pour l'utilité de ces signaux, voir chapitre suivant : asservissement des stations.

**ZCZC** : caractères indiquant le début d'un message

**B1** : caractère lettre unique attribuée à chaque émetteur (W pour Toulon La Garde), pour une zone NAVAREA. L'éloignement et la portée des émetteurs ne permettent pas de capter la même lettre de 2 zones différentes. Pour la NAVAREA III , la lettre A est attribuée à la mer Noire .Z à Gibraltar.

**B2** : lettre indiquant le sujet du message : A : avertissement de navigation ,  
B : avertissement météorologique,  
C : état des glaces,  
D : renseignements de recherche et de sauvetage,  
E : prévisions météorologiques,  
F : message pour services de pilotage,  
G, H, I , J et K : messages DECCA, LORAN, OMEGA, SATNAV et autres aides à la navigation.

L : avertissements identiques à A mais en surnombre (B3,B4 >99). Les lettres B1 et B2 permettent la sélection des messages par le récepteur.

**B3 et B4** : numéro d'ordre des messages , compris entre 00 et 99. Le numéro d'ordre 00 est attribué exceptionnellement à des messages ultra prioritaires concernant le détresse.

Le message est émis en langue anglaise et comporte : la date de première diffusion, l'heure en temps universel, l'origine de l'émetteur dans la zone.

Exemples de messages captés en avril 1998 et commentaires:

à la fin des messages captés en avril 1998 et commentaires.

ââââââââââââââââ  
ZCZC WL60  
141442 UTC APR 98  
TTT AVURNAV TOULON NR 271/98  
AZUR  
FROM 160000Z TO 272359Z APR 98 SUBMARINE WORKS BY R/V NADIR IN AREA  
BOUNDED BY :  
43-24.0N 007-03.0E - 43-11.7N 007-14.8E - 43-17.6N 007-26.6E -  
43-30.0N 007-15.E

NNNN

ZCZC WL83  
211148 UTC APR 98  
TTT AVURNAV TOULON NR 295/98  
CORSE  
CANCEL AVURNAV TOULON 267/98  
GIRAGLIA LIGHTHOUSE 4301,6N - 00924,4E LIGHT UNRELIABLE

NNNN

- signaux de synchro :souvent non affichés  
W :Identifie Toulon La garde  
A : sujet de message : avis de navigation  
60 : n° d'ordre du message  
diffusé le 14 Avril 98 à 14h42

- fin de message  
- 2 changements de ligne

- message suivant

## **ASSERVISSEMENTS DES STATIONS**

Ce chapitre concerne l'obligation de synchroniser le récepteur sur le rythme de l'émetteur , afin qu'il n'y ait pas de perte de caractères ou impression de caractères erronés.

cf : Recommandation UIT-R M 476-4 qui donne dans son annexe les caractéristiques des systèmes de détection et de correction d'erreur pour les équipements de télégraphie à impression directe . Cette annexe décrit les caractéristiques techniques d'émission, les codes et les modes d'exploitation à utiliser dans le service mobile maritime.

*Les informations suivantes constituent un résumé de cette recommandation utile pour la compréhension du NAVTEX.*

*On désigne par stations , les émetteurs et récepteurs à terre et sur les navires.  
souligné : concerne particulièrement le NAVTEX.*

**L'U.I.T (Union Internationale des Télécommunication Genève ,octobre 1995) recommande :**

- dans le cas où un système à détection et correction d'erreurs est utilisé ,on emploie soit un système ARQ à 7 moments soit un système à 7 moments à correction et indication intrinsèques des erreurs avec réception en diversité de temps , utilisant le même code.

- Le système **NAVTEX** utilise le mode de synchronisation (entre la station émettrice et la station réceptrice) à la fois en mode A ou ARQ (correction d'erreurs par détection et répétition) et B ou CED (correction d'erreurs sans voie de retour).

- **Mode A** : système synchrone transmettant des blocs de 3 caractères entre une station émettrice d'informations (ISS) et une station réceptrice d'informations (IRS) ces stations pouvant inverser leur rôle (émettre à tour de rôle) .

La station qui déclenche l'établissement de la communication est appelée « station maîtresse » , la station appelée devient « station asservie ». La situation est inchangée jusqu'à émission d'un signal de commande , qui inverse le rôle des stations.

Remarque : une station sur un navire ne peut pas émettre , elle n'est que réceptrice d'où nécessité de compléter par le mode B.

- **Mode B** :correction d'erreurs sans voie de retour . C'est un système synchrone transmettant un train ininterrompu de caractères d'une station émettrice en mode B collectif (CBSS ) vers plusieurs stations réceptrices en mode B collectif (CBRS) ou d'une station émettrice en mode B sélectif (SBSS) vers une station particulière recevant en mode B sélectif (SBRS)

- La **station émettrice en mode B collectif** ou sélectif (CBSS ou SBSS) émet chaque caractère 2 fois , la première émission (DX) d'un caractère est suivie par l'émission de 4 autres caractères ,après quoi a lieu la retransmission (RX) du premier caractère, ce qui permet une diversité dans le temps avec un intervalle de 280ms .

Remarque : un caractère dure 70ms . Donc 4 caractères durent effectivement 280 ms.

- La **station réceptrice en mode collectif** ou sélectif (CBRS ou SBRS) vérifie que l'un des 2 caractères DX ou RX ne soit pas mutilé et dans ce cas il est imprimé ou imprime un caractère d'erreur si les 2 caractères (DX et RX) sont mutilés.

- La classe d'émission est F1B ou J2B avec déplacement de fréquence de 170 Hz sur la liaison radioélectrique . En cas de déplacement de fréquence par application de signaux audiofréquences à l'entrée d'un émetteur à bande latérale unique, la fréquence centrale du spectre audiofréquence appliquée à l'émetteur doit être de 1700 Hz.

- la largeur de bande du récepteur devrait de préférence se situer entre 270 et 340 Hz.

#### Tableau de conversion pour les signaux d'informations

N° combinaison	lettre	chiffre	signal 7 moments émis
1	A	-	BBBYYYB
2	B	?	YBYYBBB
3	C	:	BYBBBYY
4	D		BBYYBYB
5	E	3	YBBYBYB
6	F		BBYBBYY
7	G		BYBYBBY
8	H		BYYBYBB
9	I	8	BYBBYYB
10	J	Bell	BBBYBYY
11	K	(	YBBBBYY
12	L	)	BYBYYBB
13	M	.	BYYBBBY
14	N	,	BYYBBYB
15	O	9	BYYYBBB
16	P	0	BYBBYBY
17	Q	1	YBBBYBY
18	R	4	BYBYBYB
19	S	'	BBYBYBB
20	T	5	YYBYBBB
21	U	7	YBBBYYB
22	V	=	YYBBBBY
23	W	2	BBBYYBY
24	X	/	YBYBBBY
25	Y	6	BBYBYBY
26	Z	+	BBYYYBB
27	retour chariot	→	YYYBBBB
28	saut de ligne	→	YYBBYBB
29	inversion lettre	→	YBYBBYB
30	inversion chiffre	→	YBBYBBY
31	espace	→	YYBBBYB
32	bande perforée	→	YBYBYBB

Nota : B représente la fréquence émise supérieure

Y représente la fréquence émise inférieure.

Signaux de contrôle :

Mode B	signal
mise en phase 1	BBBBYYY
mise en phase 2	YBBYYBB

# E) DOCUMENTATION PARTIELLE DES COMPOSANTS

## CARTE ANALOGIQUE :

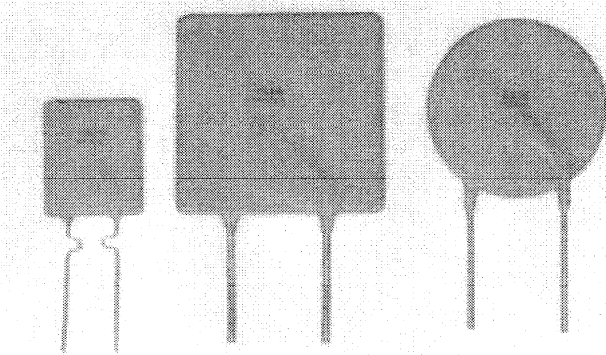
COMPOSANT	FONCTION DU COMPOSANT	page
<b>RXE010 :</b>	polyswitch	<b>Doc1</b>
<b>BA4116 FV :</b>	récepteur FM	<b>Doc 2</b>
<b>NJM2107 :</b>	ampli opérationnel intégré	<b>Doc 4</b>
<b>NJM2211 :</b>	démodulateur FSK	<b>Doc6</b>
<b>NJU6323 :</b>	oscillateur pour quartz	<b>Doc 11</b>
<b>2SK192 :</b>	transistor à effet de champ	<b>Doc 12</b>
<b>2SK937 :</b>	transistor à effet de champ	<b>Doc 14</b>

## CARTE NUMERIQUE

COMPOSANT	FONCTION DU COMPOSANT	page
BP5220 :	régulateur à découpage	<b>Doc 15</b>
RN5RT33A :	régulateur linéaire à faible chute de tension	<b>Doc 16</b>

# POLYSWICH RXE010

## FUSIBLES REARMABLES



Les Polyswitch sont des fusibles électroniques réarmables qui protègent votre circuit sans besoin de remplacement. Le nombre de réarmement est illimité. Le Polyswitch est un composant résistif à coefficient de température ohmique positif. Sa valeur ohmique augmente (circuit ouvert) rapidement sous l'effet d'un accroissement de la température (à 110° sa résistance augmente brutalement) ou du courant (augmentation de la t°). Le retour à l'état d'origine (circuit fermé) ne s'effectue qu'après coupure de la source d'alimentation. Le composant se refroidi et retrouve sa faible valeur ohmique. Ainsi dans bien des cas et en fonction de ses caractéristiques, le Polyswitch peut remplacer avantageusement un fusible classique.

Pour faire votre choix, il convient de le sélectionner en fonction de ses trois principaux paramètres:

- . **Le courant de maintien.**
- . **Le courant de basculement.**
- . **La tension maximale d'utilisation.** (point faible par rapport à un fusible classique)

Par exemple, le **RXE010** a un courant de maintien de **100mA**, un courant de basculement de **200mA** et une tension max. de **60V**

**DOC 1**

**Tyco/Electronics**  
**Raychem Circuit Protection**  
308 Constitution Drive  
Menlo Park, CA 94025-1164  
Phone: 800-227-4856  
Fax: 800-227-4866

**PolySwitch®**  
**PTC Devices**  
Overcurrent Protection Device

**PRODUCT: RXE010**  
**DOCUMENT: SCD 22156**  
**PCN: 838429**  
**REV LETTER: I**  
**REV DATE: FEBRUARY 7, 2002**  
**PAGE NO.: 1 OF 1**

**Specification Status: RELEASED**

### Electrical Rating

Voltage: 60V MAX  
Current: 40A MAX

### Insulating Material:

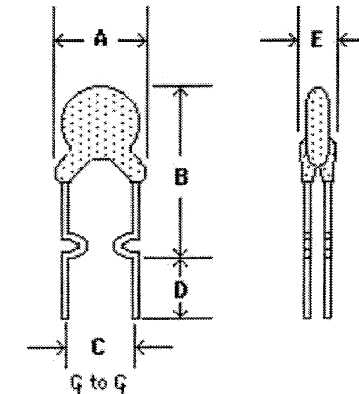
Cured, Flame Retarded Epoxy Polymer  
meets UL94 V-0 Requirements

### Lead Material:

24 AWG, Solder coated Nickel-Copper alloy

### Marking:

	Voltage
	Part Identification
	Lot Identification (can be on back)



**TABLE I. DIMENSIONS:**

	A MIN	A MAX	B MIN	B MAX	C MIN	C MAX	D MIN	D MAX	E MIN	E MAX	F MIN
mm:	—	7.4	—	11.6	4.3	5.6	7.6	—	—	3.0	—
in.:	—	(0.29)	—	(0.46)	(0.17)	(0.23)	(0.30)	—	—	(0.12)	—

\*Rounded off approximation

**TABLE II. PERFORMANCE RATINGS:**

<sup>1H</sup> RATED CURRENT	CURRENT RATINGS				TIME TO TRIP	INITIAL RESISTANCE VALUES	ONE-HOUR POST-TRIP RESISTANCE STANDARD TRIP	NOMINAL TRIPPED- STATE POWER DISSIPATION
	AMPERES 20°C HOLD	AMPERES AT 0°C HOLD	AMPERES AT 20°C HOLD	AMPERES AT 60°C HOLD				
10	11	.22	.10	.20	.07	.14	4.0	2.50 4.50 7.5 0.38

#### Recognitions:

UL, CSA and TUV approved.

Approved by UL as a current limiting impedance, per the 1996 NEC, Tables 11 (c) and 11 (b).  
PS300

#### Reference Documents:

This specification takes precedence over documents referenced herein.

Precedence:  
Effectivity:  
CAUTION:

Reference documents shall be the issue in effect on the date of invitation for bid.

Operation beyond the rated voltage or current may result in rupture, electrical arcing or flame.

## Communication ICs

# FM IF detector for cordless phones BA4116FV

The BA4116FV is an IC with mixing circuit, IF circuit, FM detector circuit, RSSI circuit, and noise detector circuit. As it can operate at low voltages, it is ideal for use in cordless phones.

### ● Applications

Cordless phones, amateur short wave radios, and other portable wireless equipment

### ● Features

- 1) Input frequencies of 10MHz to 150MHz can be accommodated.
- 2) Low-voltage operation. (1.8 to 5.5V)
- 3) Excellent temperature characteristic.
- 4) High sensitivity; 12dB SINAD sensitivity = 8dB $\mu$ VEMF (50 Ω)
- 5) High intercept point. (-11dBm)
- 6) Small package used. (0.65mm pitch)

### ● Absolute maximum ratings (Ta = 25°C)

Parameter	Symbol	Limits	Unit
Power supply voltage	Vcc	7.0	V
Power dissipation	Pd	350*	mW
Operating temperature	Topr	-30~+85	°C
Storage temperature	Tstg	-55~+125	°C

\* Reduced by 3.5mW for each increase in Ta of 1°C over 25°C.

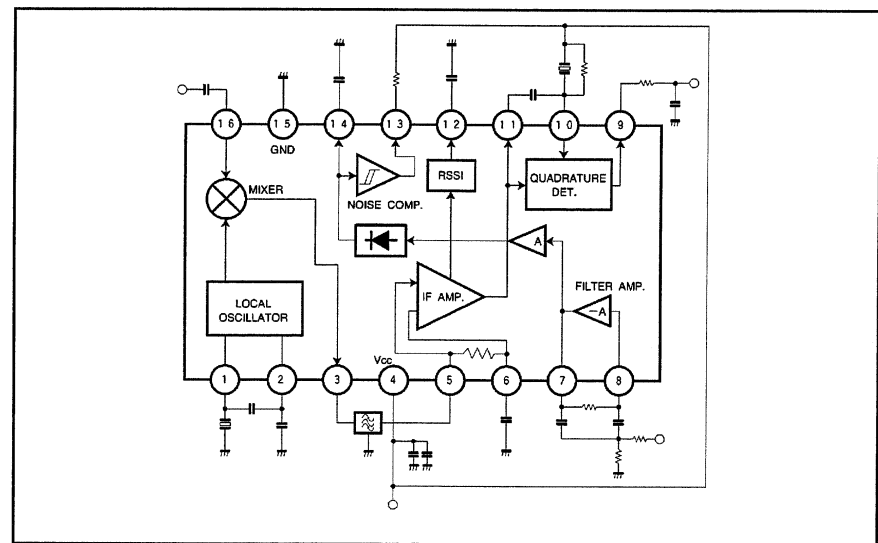
### ● Recommended operating conditions (Ta = 25°C)

Parameter	Symbol	Min.	Typ.	Max.	Unit
Power supply voltage	Vcc	1.8	2.0	5.5	V

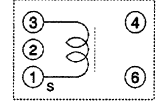
## Communication ICs

BA4116FV

### ● Block diagram



## ●Attached components

Part No.	Part name	Prod. No./Mfg.	Notes
CF1	Ceramic filter	Murata: CFWM450G	6 dB band width = $\pm 4.5$ kHz min. Attenuation band width = $\pm 10$ kHz max. Guaranteed attenuation = 35 dB min. Input loss = 6 dB max.
CD1	Ceramic discriminator	Murata: CDB450C24	
L1	Wave detection coil	Toko: 5PNR-2876Z	 <p>1-3 190T Wire type: 0.045<math>\varnothing</math>, 3UEW</p> <p>L variable range = <math>\pm 4</math> % Q at no load = 20 min.</p>

## ●Determining the filter amplifier constant (multi-layer recovery band pass filter)

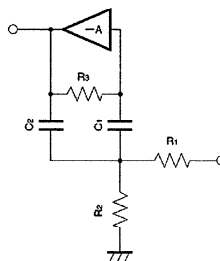
f<sub>0</sub>: Center frequencyQ: Center frequency f<sub>0</sub>/band width BWA<sub>0</sub>: I/O gain

Fig. 3

The reference resistance R<sub>0</sub> is determined as C<sub>1</sub> = C<sub>2</sub> = C<sub>0</sub>.

$$R_0 = 1/2\pi f_0 \cdot C_0$$

$$R_1 = R_0 \cdot Q/A_0$$

$$R_2 = R_0/[2Q - (A_0/Q)]$$

$$R_3 = 2R_0 \cdot Q$$

The Filter gain can be adjusted by varying R<sub>1</sub>, but with the A<sub>0</sub> > 1 design, please be aware that influence from the open loop characteristic of the amplifier causes offset in the center frequency f<sub>0</sub>.

## ●Electrical characteristic curves

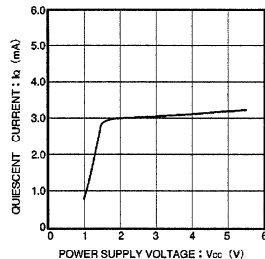


Fig. 4 Quiescent current vs. power supply voltage

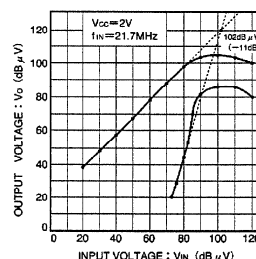


Fig. 5 Mixer output voltage vs. input voltage

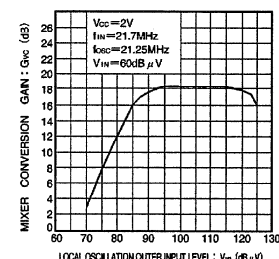


Fig. 6 Mixer conversion gain vs. Pin 2 OSC injection level

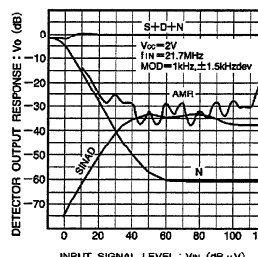


Fig. 7 Detector output response, AMR, SINAD vs. input signal level

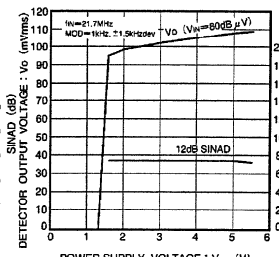


Fig. 8 Detector output voltage, 12 dB SINAD sensitivity vs. power supply voltage

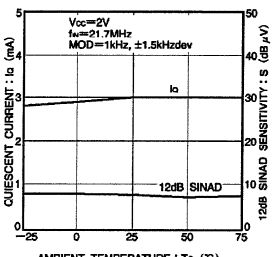


Fig. 9 Quiescent current, 12 dB SINAD sensitivity vs. ambient temperature

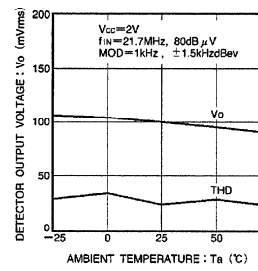


Fig. 10 Detector output level, THD vs. ambient temperature

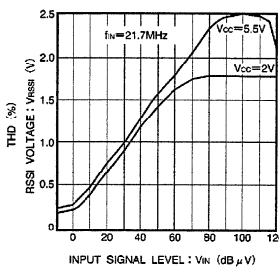


Fig. 11 RSSI voltage vs. input signal level

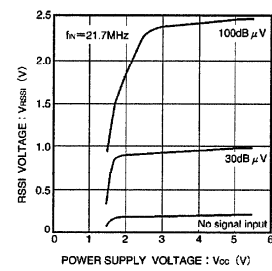


Fig. 12 RSSI voltage vs. power supply voltage

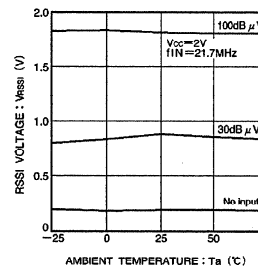


Fig. 13 RSSI voltage vs. ambient temperature

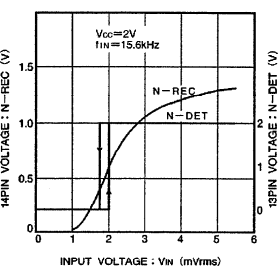


Fig. 14 Pin 13 voltage, Pin 14 voltage vs. noise amplifier input voltage

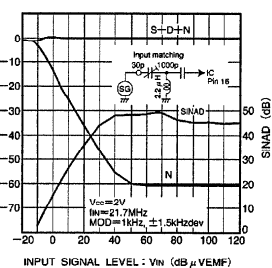


Fig. 15 Detector output response, SINAD vs. input signal level

## SINGLE OPERATIONAL AMPLIFIER

## ■ GENERAL DESCRIPTION

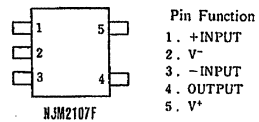
NJM 2107F is a single operational amplifier of ultra miniature surface mount package.

NJM 2107F has features of low operating supply voltage and low saturation output voltage. The NJM2107F is suitable for small electronic equipments and hybrid circuits.

## ■ FEATURE

- Operating Voltage ( $V^+/V^- = \pm 1.0V$  to  $\pm 3.5V$ )
- Low Output Saturation :  $4V_{P.P}$  at single  $5V$  supply
- V<sup>+</sup> Shield Plate between +Input and -Input
- Suitable Pin Arrangement for Application
- Mounted in Ultra Miniaure 2.9×1.5mm : (1/5 of DMP-8 package)
- Bipolar Technology

## ■ PIN CONFIGURATION

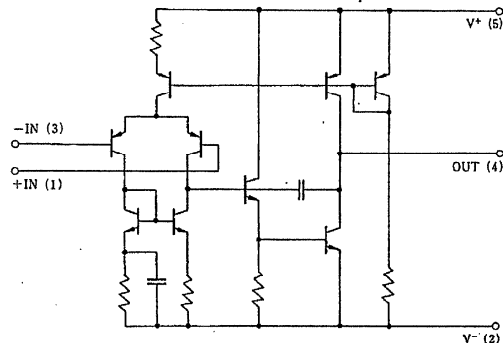


## ■ PACKAGE OUTLINE



NJM2107F

## ■ EQUIVALENT CIRCUIT



## ■ ABSOLUTE MAXIMUM RATINGS

(Ta=25°C)

PARAMETER	SYMBOL	RATINGS	UNIT
Supply Voltage	$V^+/V^-$	$\pm 3.5$	V
Differential Input Voltage	$V_{ID}$	$\pm 7$	V
Input Voltage	$V_{IC}$	$\pm 3.5$	V
Power Dissipation	$P_D$	200	mW
Operating Temperature Range	$T_{OPR}$	-40 ~ +85	°C
Storage Temperature Range	$T_{STG}$	-40 ~ +125	°C

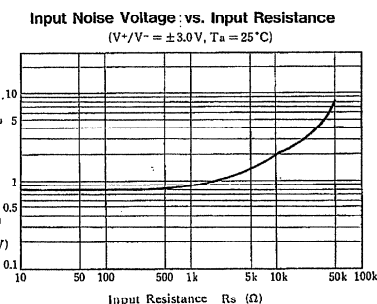
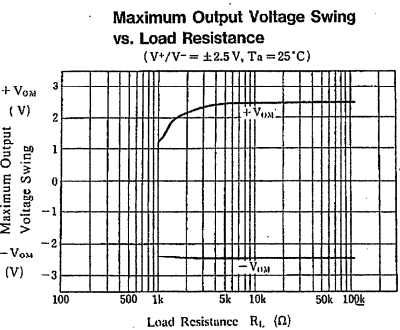
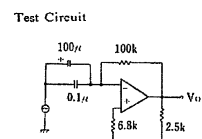
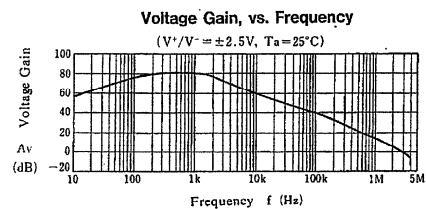
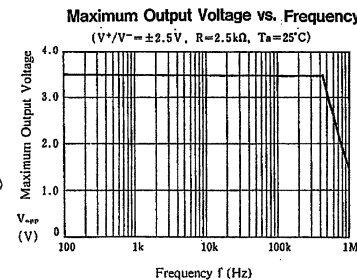
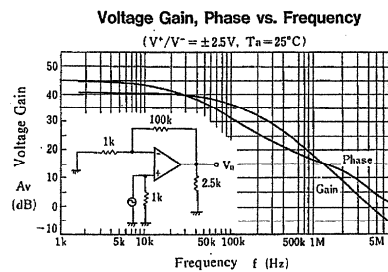
## ■ ELECTRICAL CHARACTERISTICS

(V<sup>+</sup>/V<sup>-</sup>=±2.5V, Ta=25°C)

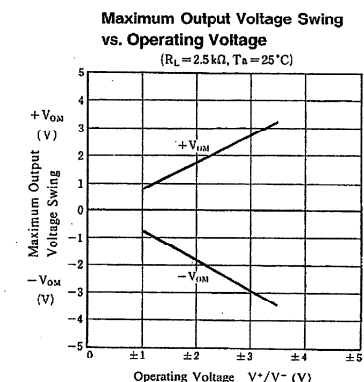
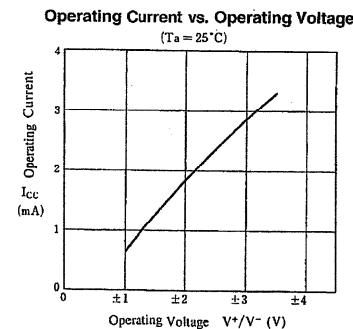
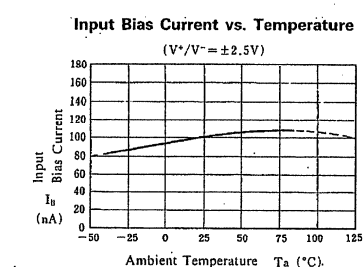
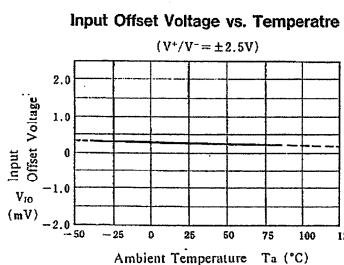
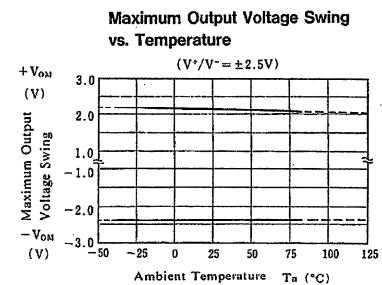
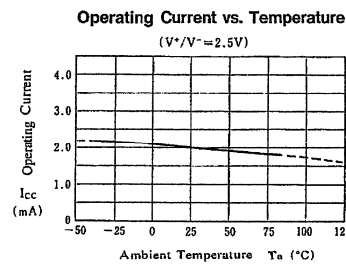
PARAMETER	SYMBOL	TEST CONDITION	MIN.	TYP.	MAX.	UNIT
Input Offset Voltage	$V_{IO}$	$R_S = 10k\Omega$	—	1	6	mV
Input Offset Current	$I_{IO}$	$I^+ - I^-$	—	5	200	nA
Input Bias Current	$I_B$	—	—	100	500	nA
Input Common Mode Voltage Range	$V_{ICM}$	$\pm 1.5$	—	—	—	V
Large Signal Voltage Gain	$A_V$	$R_L = 10k\Omega, V_0 = \pm 2.0V$	60	80	—	dB
Output Voltage Swing	$V_{OM}$	$R_L = 2.5k\Omega$	$\pm 2.0$	$\pm 2.2$	—	V
Common Mode Rejection Ratio	CMR	$R_S \leq 10k\Omega$	60	80	—	dB
Supply Voltage Rejection Ratio	SVR	$R_S \leq 10K\Omega$	60	70	—	dB
Slew Rate	SR	$V_{IN} = \pm 1V_{P.P}, A_{CL} = +1$	—	3	—	V/ $\mu$ s
Operating Current	$I_{CC}$	—	1	2	3	mA

DOC4

## ■ TYPICAL CHARACTERISTICS



## ■ TYPICAL CHARACTERISTICS



DOC 5

**NJM2211****FSK DEMODULATOR / TONE DECODER****■ GENERAL DESCRIPTION**

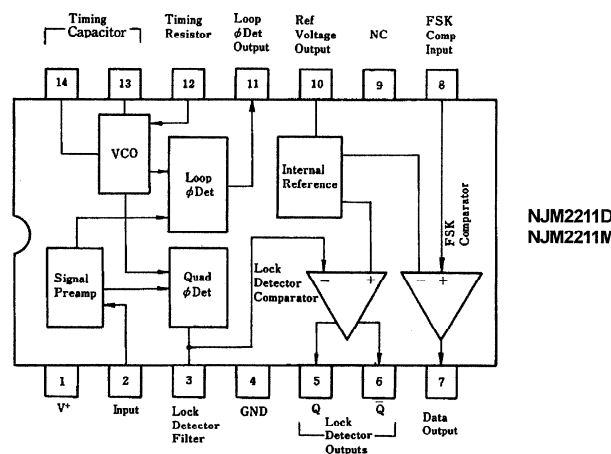
The NJM2211 is a monolithic phase-locked loop (PLL) system especially designed for data communications. It is particularly well suited for FSK modem applications, and operates over a wide frequency range of 0.01Hz to 300kHz. It can accommodate analog signals between 2mV and 3V, and can interface with conventional DTL, TTL and ECL logic families. The circuit consists of a basic PLL for tracking an input signal frequency within the passband, a quadrature phase detector which provides carrier detection, and an FSK voltage comparator which provides FSK demodulation. External components are used to independently set carrier frequency, bandwidth, and output delay.

**■ FEATURES**

- Wide Operating Voltage (4.5V to 20V)
- Wide frequency range (0.01Hz to 300kHz)
- DTL / TTL / ECL logic compatibility
- FSK demodulation with carrier-detector
- Wide dynamic range (2mV to 3V<sub>ms</sub>)
- Adjustable tracking range ( $\pm 1\%$  to  $\pm 30\%$ )
- Excellent temperature stability (20ppm / °C typical)
- Package Outline DIP14, DMP14
- Bipolar Technology

**■ APPLICATIONS**

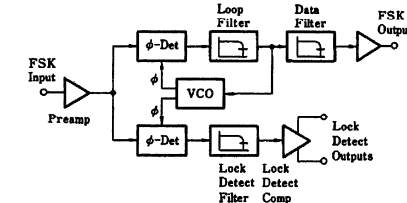
- FSK demodulation
- Data synchronization
- Tone decoding
- FM detection
- Carrier detection

**■ PIN CONFIGURATION****■ PACKAGE OUTLINE**

NJM2211D



NJM2211M

**NJM2211****■ BLOCK DIAGRAM****■ ABSOLUTE MAXIMUM RATINGS**(T<sub>a</sub>=25°C)

PARAMETER	SYMBOL	RATINGS	UNIT
Supply Voltage	V <sup>+</sup>	20	V
Input Signal Level	V <sub>IN</sub>	3	V <sub>m</sub> s
Power Dissipation	P <sub>D</sub>	(DIP14) 700 (DMP14) 300	mw mw
Operating Temperature Range	T <sub>op</sub>	-40 to +85	°C
Storage Temperature Range	T <sub>stg</sub>	-40 to +125	°C

DOC6

# NJM2211

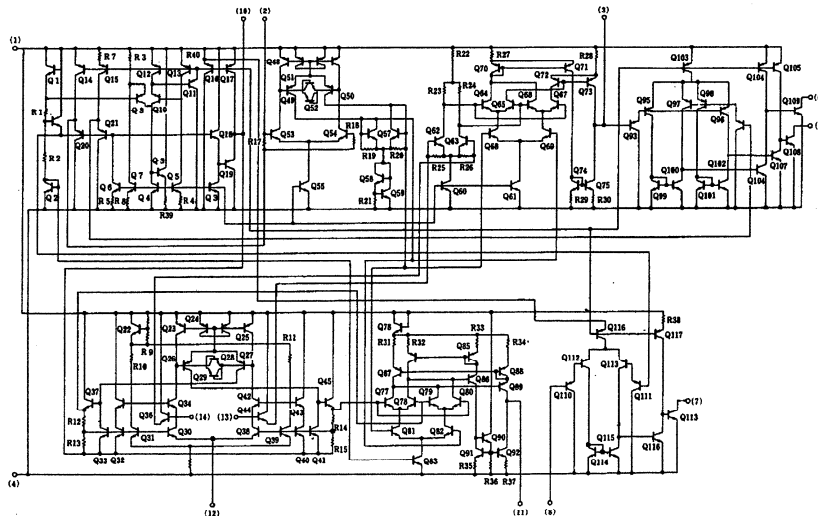
## ELECTRICAL CHARACTERISTICS

(V <sup>+</sup> =+12V, T <sub>a</sub> =25°C)						
PARAMETER	SYMBOL	TEST CONDITION	MIN.	TYP.	MAX.	UNIT
Operating Voltage	V <sup>+</sup>		4.5	-	20	V
Operating Current	I <sub>CC</sub>	R <sub>O</sub> ≥ 10kΩ	-	5	11	mA
Oscillator						
Frequency Accuracy	Δf <sub>0</sub>		-	±1.0	-	%
Frequency Stability Temp. Coefficient	Δf <sub>0</sub> /ΔT	R <sub>i</sub> =∞	-	±20	-	ppm / °C
Power Supply Rejection	PSRR	V <sup>+</sup> =12±1V V <sup>+</sup> =5±0.5V	-	±0.05 ±0.2	±1.5	% / V % / V
Upper Frequency Limit	f <sub>0 MAX</sub>	R <sub>O</sub> =8.2kΩ, C <sub>O</sub> =400pF	-	300	-	kHz
Lowest Operating Frequency	f <sub>0 MIN</sub>	R <sub>O</sub> =2MΩ, C <sub>O</sub> =50μF	-	0.01	-	Hz
Timing Resistor						
Timing Resistor	R <sub>O</sub>	Operating Range	5	-	2000	kΩ
		Recommended Range	15	-	100	kΩ
Loop Phase Detector						
Peak Output Current	I <sub>O</sub>	Meas. at pin 11	±100	±200	±300	μA
Output Offset Current	I <sub>OS</sub>		-	+2.0	-	μA
Output Impedance	Z <sub>O</sub>		-	1.0	-	MΩ
Maximum Voltage Swing	V <sub>OM</sub>	Ref. to pin 10	±4.0	±5.0	-	V
Quadrature Phase Detector						
Peak Output Current	I <sub>O</sub>	Meas. at Pin 3	-	150	-	μA
Output Impedance			-	1.0	-	MΩ
Maximum Voltage Swing			-	11	-	V <sub>P-P</sub>
Input Preamp						
Input Impedance	R <sub>IN</sub>	Meas. at Pin 2	-	20	-	kΩ
Input Signal Voltage Required to Cause Limiting	V <sub>IN</sub>		-	2	-	mVrms
Voltage Comparator						
Input Impedance	R <sub>IN</sub>	Measure at Pin 3 & 8	-	2	-	MΩ
Input Bias Current	I <sub>B</sub>		-	100	-	nA
Voltage Gain	G <sub>V</sub>	R <sub>L</sub> =5.1kΩ	-	70	-	dB
Output Voltage Low	V <sub>SAT</sub>	5, 6, 7 <sub>PIN</sub> I <sub>C</sub> =3mA	-	0.3	1.0	V
Output Leakage Current	I <sub>LEAK</sub>	V <sub>O</sub> =12V	-	0.01	11	μA
Internal Reference						
Output Voltage	V <sub>REF</sub>	Measure at Pin 10	4.75	5.30	5.85	V
Output Impedance	Z <sub>O</sub>		-	100	-	Ω

DOC7

# NJM2211

## EQUIVALENT CIRCUIT



## CIRCUIT FUNCTION

### Signal Input (Pin 2)

The input signal is AC coupled to this terminal. The internal impedance at pin 2 is 20kΩ. Recommended input signal levels in the range of 10mVrms to 3Vrms.

### Quadrature Phase Detector Output (Pin 3)

This is the high-impedance output of the quadrature phase detector, and is internally connected to the input of lock-detect voltage comparator. In tone detection applications, pin 3 is connected to ground through a parallel combination of R<sub>D</sub> and C<sub>D</sub> (see Figure 1) to eliminate chatter at the lock-detect outputs. If this tone-detect section is not used, pin 3 can be left open circuited.

### Lock-Detect Output, Q (Pin 5)

The output at pin 5 is at a "high" state when the PLL is out of lock and goes to a "low" or conducting state when the PLL is locked. It is an open collector type output and required a pull-up resistor, R<sub>L</sub>, to V<sup>+</sup> for proper operation. In the "low" state it can sink up to 5mA of load current.

### Lock-Detect Complement, Q (Pin 6)

The output at pin 6 is the logic complement of the lock-detect output at pin 5. This output is also an open collector type stage which can sink 5mA of load current in the low or "on" state.

### FSK Data Output (Pin 7)

This output is an open collector logic stage which requires a pull-up resistor, R<sub>L</sub>, to V<sup>+</sup> for proper operation. It can sink 5mA of load current. When decoding FSK signals the FSK data output will switch to a "high" or off state for low input frequency, and will switch to a "low" or on state for high input frequency. If no input signal is present, the logic state at pin 7 is indeterminate.

### FSK Comparator Input (Pin 8)

This is the high-impedance input to the FSK voltage comparator. Normally, an FSK post-detection or data filter is connected between this terminal and the PLL phase-detector output (pin 11). This data filter is formed by R<sub>F</sub> and C<sub>F</sub> of Figure 1. The threshold voltage of the comparator is set by the internal reference voltage, V<sub>R</sub>, available at pin 10.

## • Reference Voltage $V_R$ (Pin 10)

This pin is internally biased at the reference voltage level,  $V_R$ ;  $V_R = V_+ / 2 - 650\text{mV}$ . The DC voltage level at this pin forms an internal reference for the voltage levels at pin 3, 8, 11, and 12. Pin 10 must be bypassed to ground with a  $0.1\mu\text{F}$  capacitor.

## • Loop Phase Detector Output (Pin 11)

This terminal provides a high impedance output for the loop phase-detector. The PLL loop filter is formed by  $R_1$  and  $C_1$  connected to pin 11 (see Figure 1). With no input signal, or with no phase error within the PLL, the DC level at pin 11 is very nearly equal to  $V_{REF}$ . The peak voltage swing available at the phase detector output is equal to  $\pm V_{REF}$ .

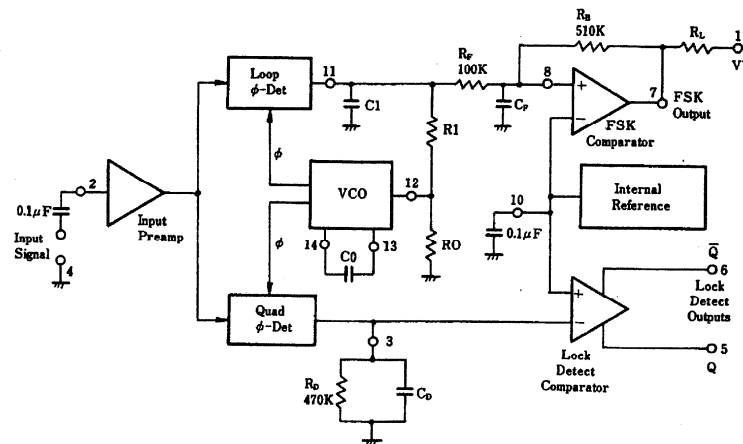


Figure 1. FSK & Tone Detection

## • VCO Control Input (Pin 12)

VCO free-running frequency is determined by external timing resistor,  $R_0$ , connected from this terminal to ground. The VCO free-running frequency,  $f_0$ , is given by :

$$f_0(\text{Hz}) = \frac{1}{R_0 C_0}$$

where  $C_0$  is the timing capacitor across pins 13 and 14. For optimum temperature stability  $R_0$  must be in the range of  $10\text{k}\Omega$  to  $100\text{k}\Omega$  (see Typical Electrical Characteristics).

This terminal is a low impedance point, and is internally biased at a DC level equal to  $V_R$ . The maximum timing current drawn from pin 12 must be limited to  $\leq 3\text{mA}$  for proper operation of the circuit.

## • VCO Timing Capacitor (Pins 13 and 14)

VCO frequency is inversely proportional to the external timing capacitor,  $C_0$ , connected across these terminals.  $C_0$  must be non-polarized, and in the range of  $200\text{pF}$  to  $10\mu\text{F}$ .

## • VCO Frequency Adjustment

VCO can be fine tuned by connecting a potentiometer,  $R_X$ , in series with  $R_0$  at pin 12 (see Figure 2)

## • VCO Free-Running Frequency, $F_0$

The NJM2211 does not have a separate VCO output terminal. Instead, the VCO outputs are internally connected to the phase-detector sections of the circuit. However, for setup or adjustment purposes, the VCO free-running frequency can be measured at pin 3 (with  $C_D$  disconnected) with no input and also pin 2 shorted to pin 10.

## ■ DESIGN EQUATIONS

See Figure 1 for Definitions of Components.

1. VCO Center Frequency,  $f_0$ :

$$f_0(\text{Hz}) = \frac{1}{R_0 C_0}$$

2. Internal Reference Voltage,  $V_R$  (measured at pin 10) :

$$V_R = \left( \frac{+V_S}{2} \right) - 650\text{mV}$$

3. Loop Lowpass Filter Time Constant,  $\tau$  :

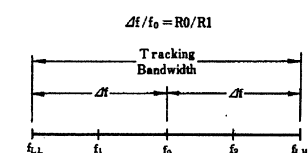
$$\tau = R_1 C_1$$

4. Loop Damping,  $\xi$  :

$$\xi = \sqrt{\frac{C_0}{C_1}} \left( \frac{1}{4} \right)$$

5. Loop Tracking Bandwidth,  $\pm \Delta f/f_0$  :

$$\Delta f/f_0 = R_0 / R_1$$



6. FSK Date Filter Time Constant,  $\tau_F$  :

$$\tau_F = R_F C_F$$

7. Loop Phase Detector Conversion Gain,  $K_\phi$  :

( $K_\phi$  is the differential DC voltage across pins 10 and 11, per unit of phase error at phase-detector input) :

$$K_\phi \text{ (in volts per radian)} = \frac{(-2)(V_{REF})}{\pi}$$

8. VCO conversion Gain,  $K_0$ , is the amount of change in VCO frequency per unit of DC voltage change at pin 1

$$K_0 \text{ (in Hertz per volt)} = \frac{-1}{C_0 R_1 V_{REF}}$$

9. Total Loop Gain  $K_T$  :

$$K_T \text{ (in radians per second per volt)} = 2\pi K_\phi K_0 \\ = 4 / C_0 R_1$$

10. Peak Phase-Detector Current,  $I_A$  :

$$I_A \text{ (mA)} = \frac{V_{REF}}{25}$$



## **Design Instructions**

The circuit of Figure 4 can be optimized for any tone-detection application by the choice of five key circuit components : R<sub>0</sub>, R<sub>1</sub>, C<sub>0</sub>, C<sub>1</sub>, and C<sub>D</sub>. For a given input tone frequency, f<sub>s</sub>, these parameters are calculated as follows :

1. Chose  $R_0$  to be in the range of  $15k\Omega$  to  $100k\Omega$ . This choice is arbitrary.
  2. Calculate  $C_0$  to set center frequency,  $f_0$  equal to  $f_S$ :  $C_0 = 1 / R_0 f_S$ .
  3. Calculate  $R_1$  to set bandwidth  $\pm \Delta f$  (see Design Equation No.5) :  $R_1 = R_0 (f_0 / \Delta f)^2$

Note : The total detection bandwidth covers the frequency range of  $f_0 - Af$

**Calculate value**

$$C_1 = C_0 / 16 \xi^2$$

Normally  $\xi \approx 1/2$  is optimum for most tone-detector applications, giving  $C_1 = 0.25 C_0$ .

- Increasing C1 improves the out-of band signal rejection, but increases the PLL capture time.

5. Calculate value of filter capacitor C<sub>f</sub>. To avoid chatter at the logic output, with R<sub>f</sub>=470kΩ, C<sub>f</sub> must be :

Calculate value of filter capacitor  $C_F$

Increasing  $C_B$  slows the logic output response time.

## Design Examples

Tone detector with a detection band of  $1\text{kHz} \pm 20\text{Hz}$

- Step 1 : Choose  $R_0=20\text{k}\Omega$  (18k $\Omega$  in series with 5k $\Omega$  potentiometer).

Step 2 : Choose  $C_0$  for  $f_0=1\text{kHz}$  :  $C_0=0.05\mu\text{F}$ .

Step 3 : Calculate  $R_1$  :  $R_1=(R_0)(1000 / 20)=1\text{M}\Omega$ .

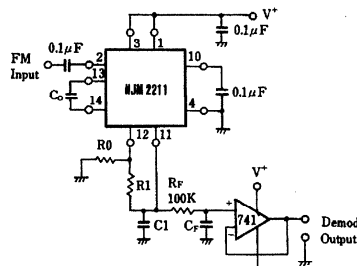
Step 4 : Calculate  $C_1$  : for  $\xi=1/2$ ,  $C_1=0.25\mu\text{F}$ ,  $C_2=0.013\mu\text{F}$ .

Step 5 : Calculate  $C_D$  :  $C_D=16 / 38=0.42\mu\text{F}$ .

Step 6 : Fine tune the center frequency with the 5k $\Omega$  potentiometer.  $R_V$

## Linear FM Detection

The **NJM2211** can be used as a linear FM detector for a wide range of analog communications and telemetry applications. The recommended circuit connection for the application is shown in Figure 5. The demodulated output is taken from the loop phase detector output (pin 11), through a post detection filter made up of  $R_F$  and  $C_F$ , and an external buffer amplifier. This buffer amplifier is necessary because of the high impedance output at pin 11. Normally, a non-inverting unity gain op amp can be used as a buffer amplifier as shown in Figure 5.



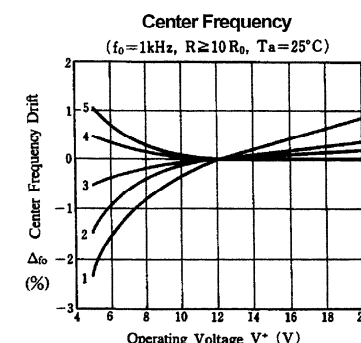
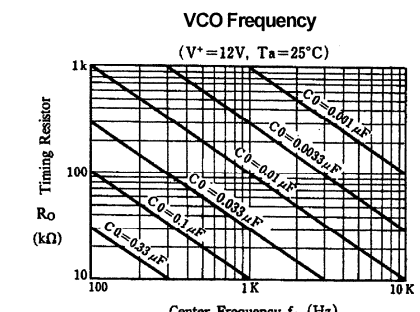
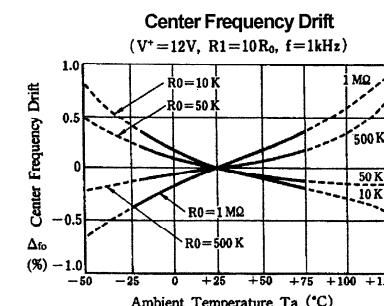
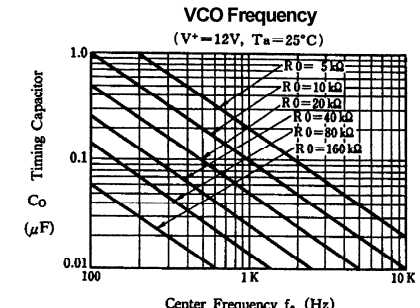
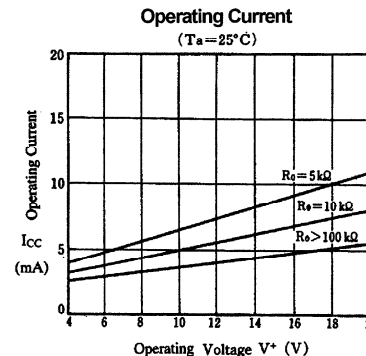
**Figure 5. Linear FM Detector**

The FM detector gain, i.e., the output voltage change per unit of FM deviation, can be given as :

$V_{out} = R1 V_B / 100 R0$  Volts/% deviation

where  $V_R$  is the internal reference voltage. For the choice of extremal components  $R1$ ,  $R0$ ,  $C_D$ ,  $C1$  and  $C_F$ , see the section on Design Equations.

## ■ TYPICAL CHARACTERISTICS



Curve	R
1	5
2	10
3	30
4	100
5	300

**[CAUTION]**  
The specifications on this databook are given for information, without any guarantee as regards either mistakes or omissions. Application circuits in this databook are described only to show representative uses of the product and not intended for the guarantee or permission of any right included in the intellectual rights.

## QUARTZ CRYSTAL OSCILLATOR

## ■ GENERAL DESCRIPTION

The NJU6323 series is a C-MOS quartz crystal oscillator which consists of an oscillation amplifier, 3-stage divider, output frequency selector and 3-state output buffer.

The oscillation frequency is as wide as up to 50MHz and the symmetry of 45-55% is realized over full oscillation frequency range.

The oscillation amplifier incorporates feed-back resistance and oscillation capacitors( $C_g$ ,  $C_d$ ), therefore, it requires no external component except quartz crystal.

The 3-stage divider outputs  $f_0$ ,  $f_0/2$ ,  $f_0/4$  and  $f_0/8$  to the output frequency selector and it determined one output frequency according to the combination of two input-signal.

The 3-state output buffer is C-MOS compatible and capable of 10 LSTTL driving.

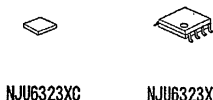
## ■ FEATURES

- Operating Voltage -- 3.0~6.0V
- Maximum Oscillation Frequency -- 50MHz
- Low Operating Current
- High Fan-out -- LSTTL 10
- 3-state Output Buffer
- Selected Frequency Output (mask option)
  - Only one frequency out of  $f_0$ ,  $f_0/2$ ,  $f_0/4$  and  $f_0/8$  output
- Oscillation Capacitors  $C_g$  and  $C_d$  on-chip
- Oscillation and/or Output Stand-by Function
- Package Outline -- CHIP/EMP 8
- C-MOS Technology

## ■ LINE-UP TABLE

Type No.	$C_g$	$C_d$	Osc.Stop Function
NJU6323	21pF	23pF	Yes
NJU6323J	21pF	No	Yes
NJU6323P	No	No	Yes

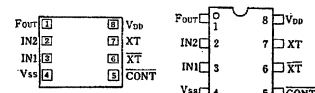
## ■ PACKAGE OUTLINE



NJU6323XC NJU6323XE

4

## ■ PIN CONFIGURATION/PAD LOCATION

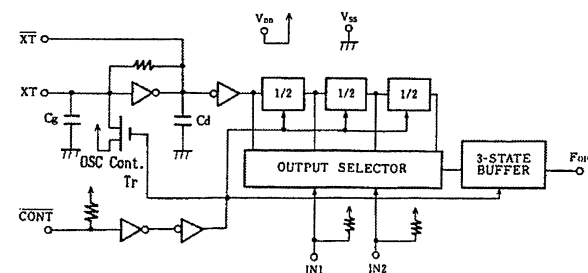


## ■ COORDINATES Unit: μm

No.	PAD	X	Y
1	FOUT	165	651
2	IN2	165	484
3	IN1	165	317
4	VDD	165	149
5	CONT	1113	149
6	XT	1113	317
7	XT	1113	484
8	VDD	1113	651

Chip Size : 1.28 X 0.8mm  
Chip Thickness : 400 μm ± 30 μm

## ■ BLOCK DIAGRAM



4

## ■ TERMINAL DESCRIPTION

NO.	SYMBOL	FUNCTION		
		Oscillation Stop Control and Divider Reset		
5	CONT	H	Output either one frequency from $f_0$ , $f_0/2$ , $f_0/4$ , and $f_0/8$	
		L	Oscillation Stop, Output High Impedance and Divider Reset	
6	XT	Quartz Crystal Connecting Terminals		
7	XT			
8	VDD	+ 5V	3-Stage Divider Outputs Selected by IN1 and IN2	
3	IN1	H	$f_0$	
2	IN2	L	$f_0/2$	
		H	$f_0/4$	
		L	$f_0/8$	
1	FOUT	Output either one frequency from $f_0$ , $f_0/2$ , $f_0/4$ , and $f_0/8$		
4	VSS	GND		

## ■ ABSOLUTE MAXIMUM RATINGS (Ta=25°C)

PARAMETER	SYMBOL	RATINGS	UNIT
Supply Voltage	$V_{DD}$	-0.5 ~ +7.0	V
Input Voltage	$V_{IN}$	-0.5 ~ $V_{DD}+0.5$	V
Output Voltage	$V_O$	-0.5 ~ $V_{DD}+0.5$	V
Input Current	$I_{IN}$	$\pm 10$	mA
Output Current	$I_O$	$\pm 25$	mA
Power Dissipation (EMP)	$P_D$	200	mW
Operating Temperature Range	$T_{OPR}$	-40 ~ + 85	°C
Storage Temperature Range	$T_{STG}$	-65 ~ +150	°C

(Note) Decoupling capacitor should be connected between  $V_{DD}$  and  $V_{SS}$  due to the stabilized operation for the circuit.

DOC11

TOSHIBA FIELD EFFECT TRANSISTOR SILICON N CHANNEL JUNCTION TYPE

**2SK192A**

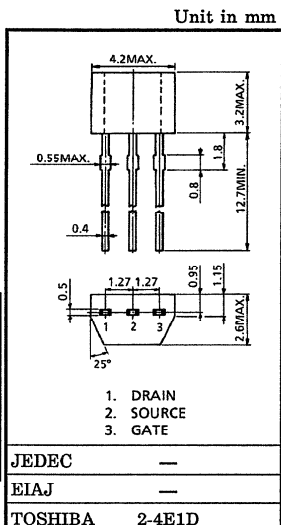
FM TUNER APPLICATIONS

VHF BAND AMPLIFIER APPLICATIONS

- High Power Gain :  $G_{PS} = 24\text{dB}$  (Typ.) ( $f = 100\text{MHz}$ )
- Low Noise Figure :  $NF = 1.8\text{dB}$  (Typ.) ( $f = 100\text{MHz}$ )
- High Forward Transfer Admittance :  $|Y_{fs}| = 7\text{mS}$  (Typ.) ( $f = 1\text{kHz}$ )

MAXIMUM RATINGS ( $T_a = 25^\circ\text{C}$ )

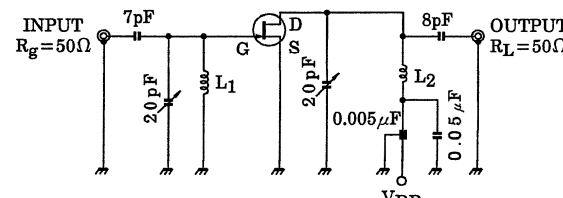
CHARACTERISTIC	SYMBOL	RATING	UNIT
Gate-Drain Voltage	$V_{GDO}$	-18	V
Gate Current	$I_G$	10	mA
Drain Power Dissipation	$P_D$	200	mW
Junction Temperature	$T_j$	125	$^\circ\text{C}$
Storage Temperature Range	$T_{stg}$	-55~125	$^\circ\text{C}$



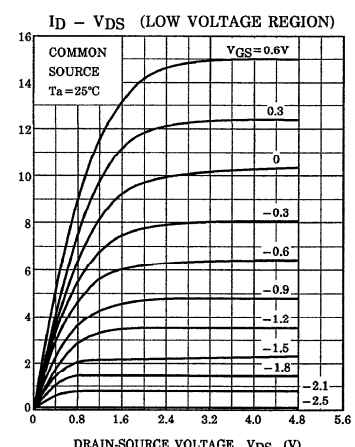
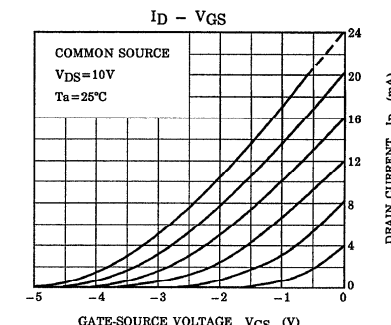
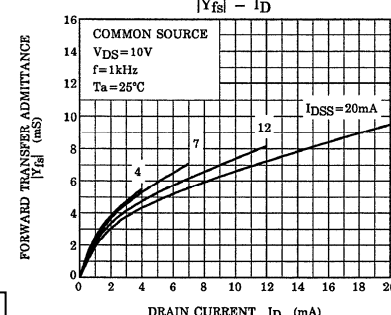
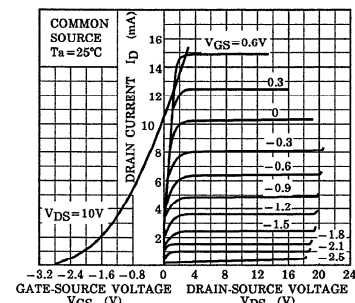
Weight : 0.13g

ELECTRICAL CHARACTERISTICS ( $T_a = 25^\circ\text{C}$ )

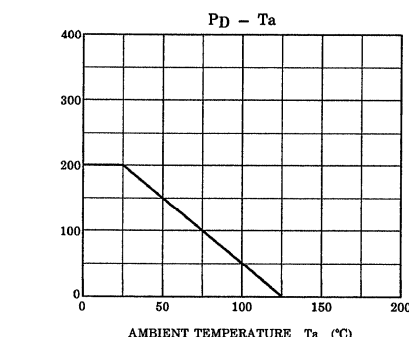
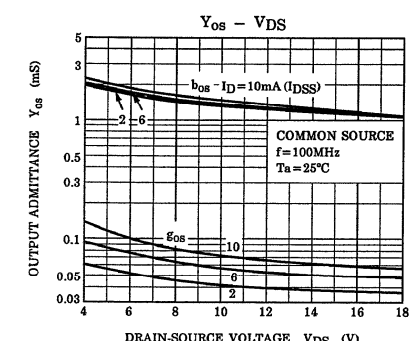
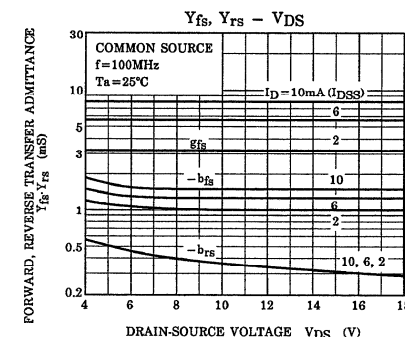
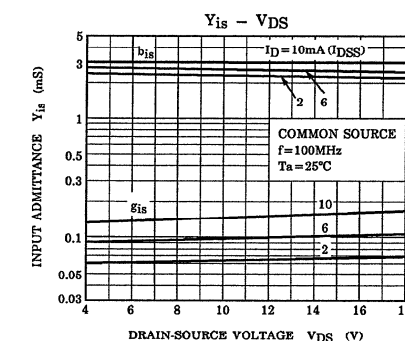
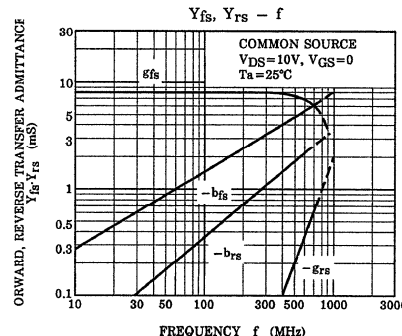
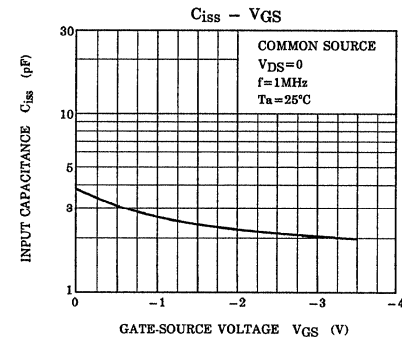
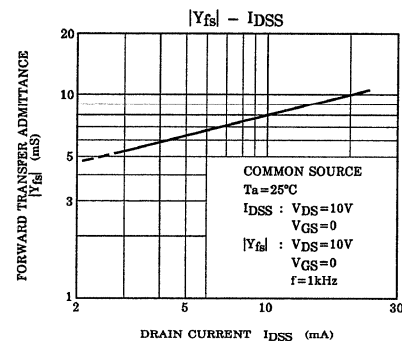
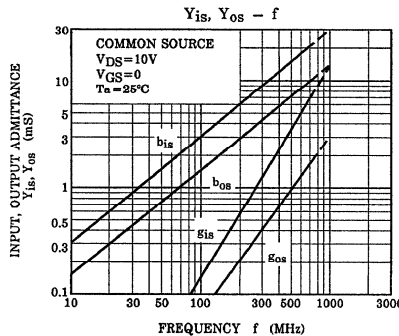
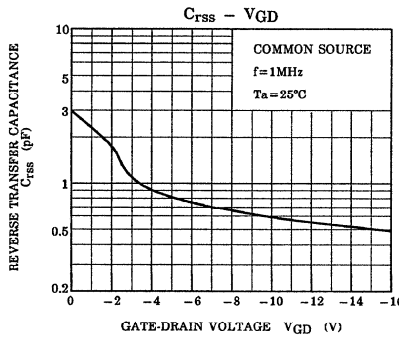
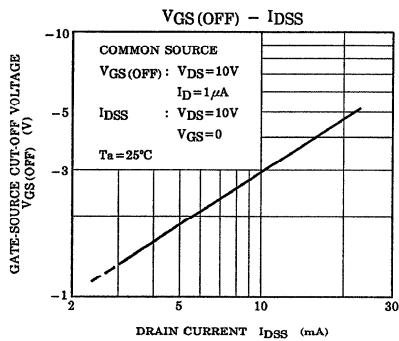
CHARACTERISTIC	SYMBOL	TEST CONDITION	MIN.	TYP.	MAX.	UNIT
Gate Leakage Current	$I_{GSS}$	$V_{GS} = -1.0\text{V}$ , $V_{DS} = 0$	—	—	-10	nA
Gate-Drain Breakdown Voltage	$V_{(BR) GDO}$	$I_G = -100\mu\text{A}$	-18	—	—	V
Drain Current	$I_{DSS}$ (Note)	$V_{GS} = 0$ , $V_{DS} = 10\text{V}$	3	—	24	mA
Gate-Source Cut-off Voltage	$V_{GS(OFF)}$	$V_{DS} = 10\text{V}$ , $I_D = 1\mu\text{A}$	-1.2	-3	—	V
Forward Transfer Admittance	$ Y_{fs} $	$V_{GS} = 0$ , $V_{DS} = 10\text{V}$ , $f = 1\text{kHz}$	—	7	—	mS
Input Capacitance	$C_{iss}$	$V_{DS} = 10\text{V}$ , $V_{GS} = 0$ , $f = 1\text{MHz}$	—	3.5	—	pF
Reverse Transfer Capacitance	$C_{rss}$	$V_{DS} = -10\text{V}$ , $f = 1\text{MHz}$	—	—	0.65	pF
Power Gain	$G_{PS}$	$V_{DD} = 10\text{V}$ , $f = 100\text{MHz}$ (Fig.1)	—	24	—	dB
Noise Figure	NF	$V_{DD} = 10\text{V}$ , $f = 100\text{MHz}$ (Fig.1)	—	1.8	3.5	dB

Note :  $I_{DSS}$  Classification Y : 3.0~7.0, GR : 6.0~14.0, BL : 12.0~24.0Fig.1 100MHz  $G_{PS}$ , NF TEST CIRCUIT

## STATIC CHARACTERISTICS



DOC12



DOC13

N-Channel Junction Silicon FET



## 2SK937

### High-Frequency General-Purpose Amplifier Applications

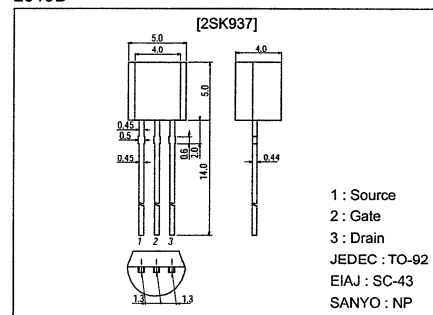
**Features**

- Adoption of FBET process.
- Large  $|Y_{fs}|$ .
- Small Ciss.

**Package Dimensions**

unit:mm

2019B

**Specifications****Absolute Maximum Ratings at  $T_a = 25^\circ\text{C}$** 

Parameter	Symbol	Conditions	Ratings	Unit
Drain-to-Source Voltage	$V_{DSX}$		40	V
Gate-to-Drain Voltage	$V_{GDS}$		-40	V
Gate Current	$I_G$		10	mA
Drain Current	$I_D$		100	mA
Allowable Power Dissipation	$P_D$		300	mW
Junction Temperature	$T_j$		150	°C
Storage Temperature	$T_{stg}$		-55 to +150	°C

**Electrical Characteristics at  $T_a = 25^\circ\text{C}$** 

Parameter	Symbol	Conditions	Ratings			Unit
			min	typ	max	
Gate-to-Drain Breakdown Voltage	$V_{(BR)GDS}$	$I_G=10\mu\text{A}, V_{DS}=0$	-40			V
Gate-to-Source Leakage Current	$I_{GS}$	$V_{GS}=-20\text{V}, V_{DS}=0$		-1.0	nA	
Zero-Gate Voltage Drain Current	$I_{DSS}$	$V_{DS}=10\text{V}, V_{GS}=0$	40*	75*	mA	
Cutoff Voltage	$V_{GS(\text{off})}$	$V_{DS}=10\text{V}, I_D=100\mu\text{A}$	-2.0	-3.0	-5.0	V
Forward Transfer Admittance		$ Y_{fs} $ 1: $V_{DS}=10\text{V}, I_D=10\text{mA}, f=1\text{kHz}$	10	15	mS	
Forward Transfer Admittance		$ Y_{fs} $ 2: $V_{DS}=10\text{V}, V_{GS}=0, f=1\text{kHz}$	22	30	mS	

\*: The 2SK937 is classified by  $I_{DSS}$  as follows (unit : mA):

40 Y3 52 48 Y4 63 57 Y5 75

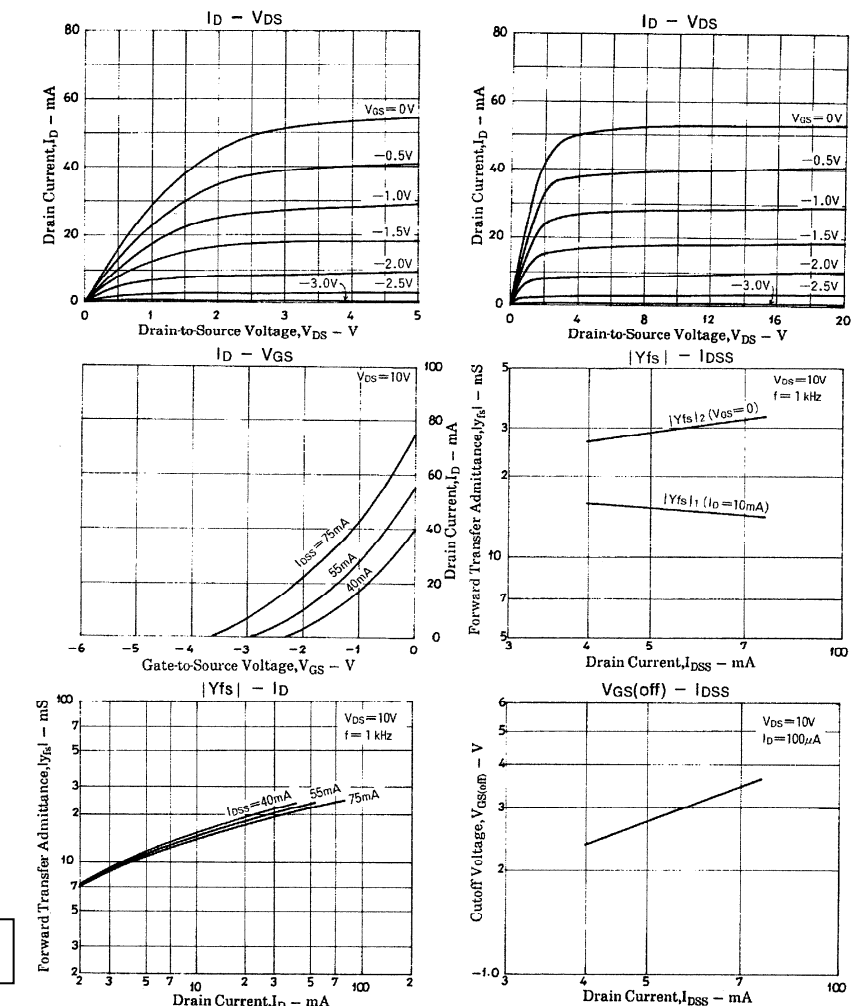
Continued on next page.

DOC14

**2SK937**

Continued from preceding page.

Parameter	Symbol	Conditions	Ratings	Unit
Input Capacitance	$C_{iss}$	$V_{DS}=10\text{V}, V_{GS}=0, f=1\text{MHz}$	11	pF
Reverse Transfer Capacitance	$C_{rss}$	$V_{DS}=10\text{V}, V_{GS}=0, f=1\text{MHz}$	2.5	pF
Noise Figure	$NF$	$V_{DS}=10\text{V}, R_g=1\text{k}\Omega, I_D=1\text{mA}, f=1\text{kHz}$	1.5	dB



## DC / DC converter

### BP5220 / BP5221 / BP5222 / BP5220X / BP5221X / BP5222X

The BP5220, BP5221, BP5222, BP5220X, BP5221X, and BP5222X are DC / DC converters that use a pulse width modulation (PWM) system. They contain control circuits, switching devices, rectifiers, and coils, and operate by only connecting an I / O smoothing capacitor. With a high efficiency of power conversion, the modules are available in stand-alone 9-pin SIP packages with no heat sink required. They can be applied to various purposes by fine-adjusting the output voltage and switching on and off. With a wide range of input voltage, the modules are best suited for obtaining a stable local power supply from a main power supply with a large voltage variation.

#### ● Applications

Power supplies for copiers, personal computers, facsimiles, AV equipment, measuring instruments, vending machines, security device, registers, industrial equipment, and maintenance tools

#### ● Features

- 1) Wide range of input voltage.
  - 2) High power conversion efficiency.
  - 3) Built-in output ON / OFF switch.
  - 4) Applicable to various purposes by fine-adjusting the output voltage.
  - 5) Small number of external components required.
  - 6) Heat sink unnecessary.
  - 7) Compact package.
- BP5220 / BP5221 / BP5222 : SIP9  
BP5220X / BP5221X / BP5222X : SIP9(L-shaped lead type)

#### ● List of the series

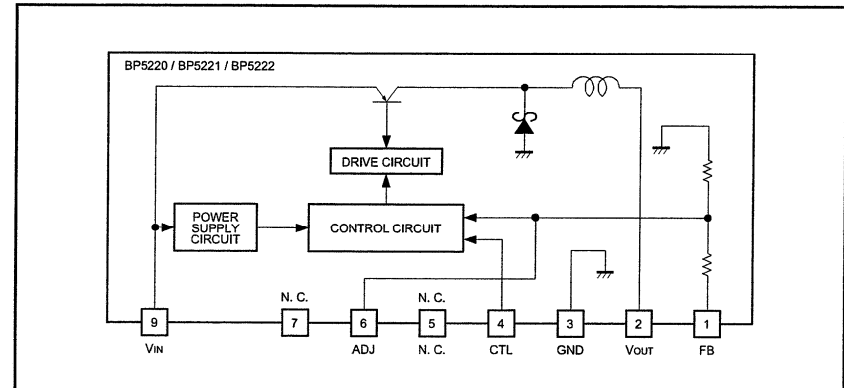
	BP5220 / BP5220X	BP5221 / BP5221X	BP5222 / BP5222X	Unit
Input voltage	8~38	8~38	15~38	V
Output voltage	5	5	12	V
Output current	1	0.5	0.5	A
Power conversion efficiency	85 (V <sub>IN</sub> =15V)	84 (V <sub>IN</sub> =15V)	90 (V <sub>IN</sub> =20V)	%

#### ● Absolute maximum ratings (Ta=25°C)

Parameter	Symbol	Limits			Unit
		BP5220 / BP5220X	BP5221 / BP5221X	BP5222 / BP5222X	
Input voltage	V <sub>IN</sub>	8~38	8~38	15~38	V
Output current	I <sub>O</sub>	1	0.5	0.5	A
Operating temperature range	T <sub>OPR</sub>		-20~+70		°C
Storage temperature range	T <sub>STG</sub>		-25~+80		°C

DOC15

#### ● Block diagram



#### ● Electrical characteristics BP5220 / BP5220X (Unless otherwise noted: V<sub>IN</sub>=15V, I<sub>O</sub>=0.5A, SW=1, Ta=25°C)

Parameter	Symbol	Min.	Typ.	Max.	Unit	Conditions
Input voltage	V <sub>IN</sub>	8	—	38	V	
Output voltage	V <sub>O</sub>	4.75	5	5.25	V	
Output current	I <sub>O</sub>	—	—	1	A	V <sub>IN</sub> < 30V *1
Line regulation	ΔV <sub>O1</sub>	—	35	80	mV	V <sub>IN</sub> =8V~38V
Load regulation	ΔV <sub>O2</sub>	—	20	80	mV	I <sub>O</sub> =0.1A~1A
Output ripple voltage	V <sub>r</sub>	—	30	70	mV <sub>PP</sub>	*2
Power conversion efficiency	η	75	85	—	%	I <sub>O</sub> =1A
Switching frequency	f <sub>SW</sub>	—	190	—	kHz	
CTL pin ON resistance	R <sub>ON</sub>	—	—	4.7	kΩ	V <sub>O</sub> > 4.75V
CTL pin OFF resistance	R <sub>OFF</sub>	200	—	—	kΩ	V <sub>O</sub> < 0.1V, SW=2 select

\*1 Derating required according to the input voltage and ambient temperature.

\*2 Pulse noise not included.

#### BP5221 / BP5221X (Unless otherwise noted: V<sub>IN</sub>=15V, I<sub>O</sub>=0.25A, SW=1, Ta=25°C)

Parameter	Symbol	Min.	Typ.	Max.	Unit	Conditions
Input voltage	V <sub>IN</sub>	8	—	38	V	
Output voltage	V <sub>O</sub>	4.75	5	5.25	V	
Output current	I <sub>O</sub>	—	—	0.5	A	*1
Line regulation	ΔV <sub>O1</sub>	—	35	80	mV	V <sub>IN</sub> =8V~38V
Load regulation	ΔV <sub>O2</sub>	—	20	80	mV	I <sub>O</sub> =0.05A~0.5A
Output ripple voltage	V <sub>r</sub>	—	30	70	mV <sub>PP</sub>	*2
Power conversion efficiency	η	70	84	—	%	I <sub>O</sub> =0.5A
Switching frequency	f <sub>SW</sub>	—	190	—	kHz	
CTL pin ON resistance	R <sub>ON</sub>	—	—	4.7	kΩ	V <sub>O</sub> > 4.75V
CTL pin OFF resistance	R <sub>OFF</sub>	200	—	—	kΩ	V <sub>O</sub> < 0.1V, SW=2 select

\*1 Derating required according to the input voltage and ambient temperature.

\*2 Pulse noise not included.

#### OUTLINE

The RN5RT Series are CMOS-based voltage regulator ICs with high output voltage accuracy and low supply current developed. Each of these voltage regulator ICs consists of a voltage reference unit, an error amplifier, output voltage setting resistors and a current limit circuit.

The output voltage of these ICs is fixed with high accuracy.

The built-in Driver Transistor of low ON Resistance permits developing of low dropout CMOS type regulator as RN5RT Series.

Even if V<sub>OUT</sub> is shorted to GND, the current limit circuit protects the ICs from destruction.

Furthermore, these ICs have a chip enable function, so that the supply current on standby can be minimized.

Since the package for these ICs is the SOT-23-5 (Mini-mold) package, high density mounting of the ICs on boards is possible.

#### FEATURES

- Ultra-Low Supply Current ..... Typ. 4µA (except ICEL)
- Standby Mode ..... Typ. 0.1µA
- Low Dropout Voltage ..... Typ. 0.3V (I<sub>OUT</sub>=60mA, RN5RT30A)
- Low Temperature-Drift Coefficient of Output Voltage ..... Typ. ±100ppm/°C
- Excellent Line Regulation ..... Typ. 0.15%/V
- Output Voltage ..... Stepwise setting with a step of 0.1V in the range of 2.0V to 6.0V is possible (refer to Selection Guide).
- High Accuracy Output Voltage ..... ±2.0%
- Built-in Current Limit Circuit ..... Typ. 30mA
- Small Package ..... SOT-23-5 (Mini-mold)

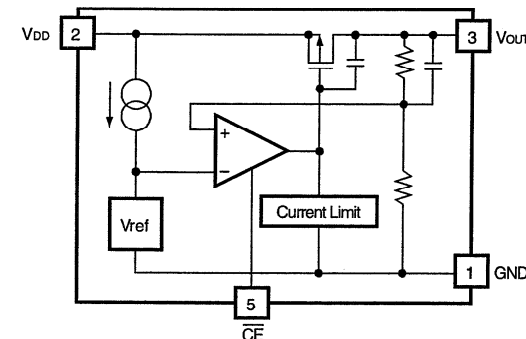
#### APPLICATIONS

- Power source for battery-powered equipment.
- Power source for cellular phones, cameras, VCRs, camcorders, hand-held audio instruments and hand-held communication equipment.
- Power source for domestic appliances.

**DOC16**

#### RN5RT

#### BLOCK DIAGRAM



#### SELECTION GUIDE

The output voltage, the packing type, and the taping type for the ICs can be selected at the user's request. These selections can be made by designating the part number as shown below:

RN5RT<sub>a</sub><sub>b</sub><sub>c</sub><sub>d</sub> ← Part Number  
 ↑↑↑↑  
 a b c d

Code	Contents
a	Setting Output Voltage (V <sub>OUT</sub> ) : Stepwise setting with a step of 0.1V in the range of 2.0V to 6.0V is possible.
b	A
c	Designation of Packing Type : A : Taping C : Antistatic bag (for Samples only)
d	Designation of Taping Type : Ex. TR, TL (refer to Taping Specifications ; TR type is the standard direction.)

# F) HORAIRES DE DIFFUSION DES ZONES I,II & III

Donné en heure UMT, en France rajouter 1 heure en horaire d'hiver et 2 heures en l'horaire d'été.

## HORAIRES DE TRANSMISSIONS NAVTEX (correct to March 2003):

Horaires (UTC/GMT)							CAT	Khz	Station	Pays	Lat	Long	Commentaires
00.00	04.00	08.00	12.00	16.00	20.00		A	518	Svalbard	Norvège	78.04N	13.38E	
							A	518	Corsen	France	48.28N	05.03W	
00.10	04.10	08.10	12.10	16.10	20.10		B	518	Bodo	Norvège	67.16N	14.23E	
		08.20			20.20		C	490	Portpatrick	GB	54.51N	05.07W	
00.20	04.20	08.20	12.20	16.20	20.20		P	518	Haifa	Israël	32.49N	35.00E	
00.30	04.30	08.30	12.30	16.30	20.30		D	518	Grimeton	Suède	57.07N	12.24E	
							D	518	Corunna	Espagne	43.31N	08.27W	
							D	518	Istanbul	Turquie	41.04N	28.57E	
00.40	04.40	08.40	12.40	16.40	20.40		E	518	Niton	GB	50.35N	01.18W	
							E	518	Samsun	Turquie	41.17N	38.20E	
							E	490	Corsen	France	48.28N	05.03W	Français
00.50	04.50	08.50	12.50	16.50	20.50		F	518	Arkhangelsk	Russie	64.33N	40.32E	
							F	518	Horta	Açores	38.32N	28.38W	
							F	518	Antalya	Turquie	36.53N	30.42E	
01.00	05.00	09.00	13.00	17.00	21.00		B	518	Kersh	Ukraine	45.23N	36.28E	
							G	518	Cullercoats	GB	55.02N	01.26W	
							G	518	Tarifa	Espagne	36.01N	05.34W	
							G	490	Monsanto	Portugal	38.44N	09.11W	Portuguais
01.10	05.10	09.10	13.10	17.10	21.10		H	518	Bjurokdubb	Suède	64.28N	21.36E	
							H	518	Iraklion	Crète	35.20N	25.07E	
01.20	05.20	09.20	13.20	17.20	21.20		C	518	Murmansk	Russie	68.58N	33.05E	
							I	518	Izmir	Turquie	38.21N	26.35E	
							I	518	Las Palmas	Canaries	28.09N	15.25W	
							J	490	Horta	Açores	38.32N	28.38W	Portuguais
	05.20			17.20			I	490	Niton	GB	50.35N	01.18W	
01.30	05.30	09.30	13.30	17.30	21.30		J	518	Gislovhammar	Suède	55.29N	14.19E	
							J	518	Varna	Bulgarie	43.07N	27.46E	
01.40	05.40	09.40	13.40	17.40	21.40		K	518	Niton	GB	50.35N	01.18W	
							K	518	Kerkyra	Grèce	39.37N	19.55E	
01.50	05.50	09.50	13.50	17.50	21.50		L	518	Rogaland	Norvège	58.48N	05.34E	
							L	518	Limnos	Grèce	39.52N	25.04E	
02.00	06.00	10.00	14.00	18.00	22.00		M	518	Oostende	Belgique	51.11N	02.48E	
							M	518	Cyprus	Chypre	35.03N	33.17E	
							M	518	Casablanca	Maroc	33.36N	07.38W	
							M	490	Porto Santo	Madère	33.04N	16.20W	Prévu
02.10	06.10	10.10	14.10	18.10	22.10		N	518	Orlandet	Norvège	63.41N	09.31.E	
							N	518	Alexandria	Egypte	31.12N	29.52E	
02.20	06.20	10.20	14.20	18.20	22.20		O	518	Portpatrick	GB	54.51N	05.07W	
							O	518	Malta	Malte	35.49N	14.32E	
02.30	06.30	10.30	14.30	18.30	22.30		C	518	Odessa	Ukraine	46.29N	30.44E	
							P	518	Den Helder	Hollande	52.06N	04.15E	
							P	518	Porto Santo	Madère	33.04N	16.20W	
02.40	06.40	10.40	14.40	18.40	22.40		Q	518	Malin Head	Irlande	55.22N	07.21W	
							Q	518	Split	Croatie	43.30N	16.29E	
02.50	06.50	10.50	14.50	18.50	22.50		R	518	Reykjavik	Islande	64.05N	21.51W	
							R	518	Rome	Italie	41.37N	12.29E	
							R	518	Monsanto	Portugal	38.44N	09.11W	
03.00	07.00	11.00	15.00	19.00	23.00		A	518	Novorossiysk	Russie	44.27N	37.44E	
							S	490	La Garde	France	43.06N	05.59E	Français
03.10	07.10	11.10	15.10	19.10	23.10		T	518	Oostende	Belgique	51.11N	02.48E	
							T	518	Cagliari	Italie	39.13N	09.14E	
							T	490	Niton	GB	50.35N	01.18W	Français
03.20	07.20	11.20	15.20	19.20	23.20		U	518	Tallin	Estonie	59.30N	24.30E	
							U	518	Trieste	Italie	45.40N	13.46E	
	07.20			19.20			U	490	Cullercoats	UK	55.02N	01.26W	
03.30	07.30	11.30	15.30	19.30	23.30		V	518	Vardo	Norvège	70.22N	31.06E	
							V	518	Augusta	Italie	37.14N	15.14E	
03.40	07.40	11.40	15.40	19.40	23.40		W	518	La Garde	France	43.06N	05.59E	
							W	518	Valentia	Irlande	51.56N	10.21W	
03.50	07.50	11.50	15.50	19.50	23.50		X	518	Reykjavik	Islande	64.05N	21.51W	
							X	518	Valencia	Espagne	38.43N	00.09E	
							X	518	Serapeum	Egypte	30.28N	32.22E	